

# Γενετική προσέγγιση της σεξουαλικής λειτουργίας στη γυναίκα



Αναστασία Κ. Αρμένη  
Νεοκλής Α. Γεωργόπουλος









**Sweat**  
a nice collection  
of girls wearing  
sexy burkas  
dedicated to all  
muslim men

# The Brain as a Target Tissue for Sex Steroids

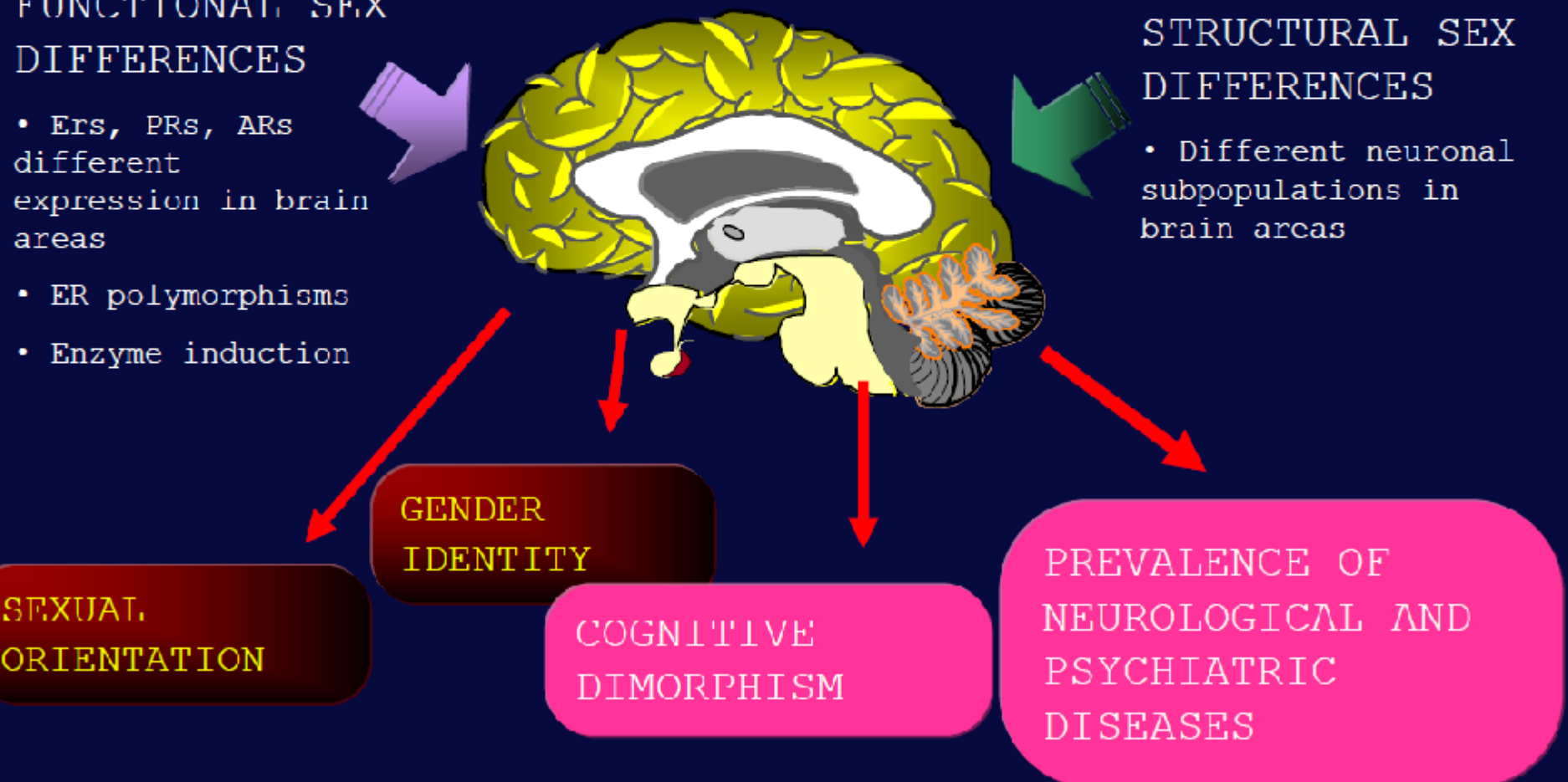
## CNS Sexual Dimorphism

### FUNCTTONAL SEX DIFFERENCES

- Ers, PRs, ARs different expression in brain areas
- ER polymorphisms
- Enzyme induction

### STRUCTURAL SEX DIFFERENCES

- Different neuronal subpopulations in brain areas



# Brain Sexual Differentiation

## Multisignaling process

Brain development

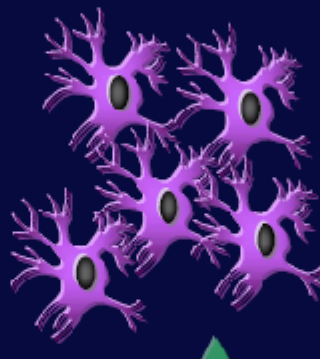
Adult brain

Behavior

XX



XY



ORGANIZATIONAL  
ACTIONS

NEUROACTIVE STEROIDS

Neurotrophic Factors

Neurotransmitters

Second  
Messenger Pathways Cross-Talks

Female

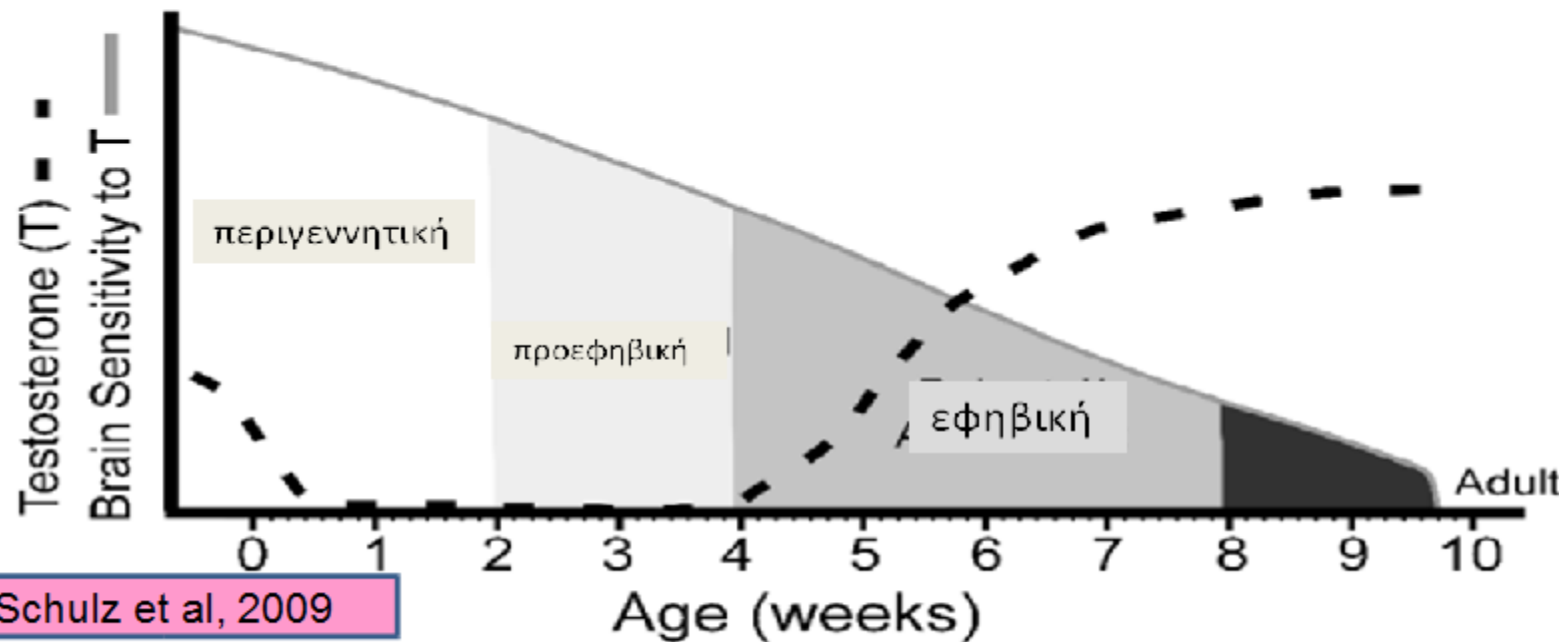
Male

ACTIVATIONAL  
ACTIONS

NEURAL and ENDOCRINE  
CONDITIONS

Endocrine Disruptors

## ΕΠΙΔΡΑΣΗ ΤΗΣ ΤΕΣΤΟΣΤΕΡΟΝΗΣ ΣΤΗ ΔΟΜΗ ΤΟΥ ΕΓΚΕΦΑΛΟΥ



- A. Περιγεννητική παροδική αύξηση τεστοστερόνης: Αρρενοποίηση των νευρωνικών κυκλωμάτων σε άρρενες.
- B. Απουσία του παροδικού κύματος τεστοστερόνης: Θηλυκός νευρωνικός φαινότυπος
- C. Εφηβεία: Οι ορμόνες επαν-οργανώνουν τα νευρωνικά κυκλώματα και προωθούν την έκφραση ειδικών για το κάθε φύλο συμπεριφορών

## Σεξουαλική δυσλειτουργία

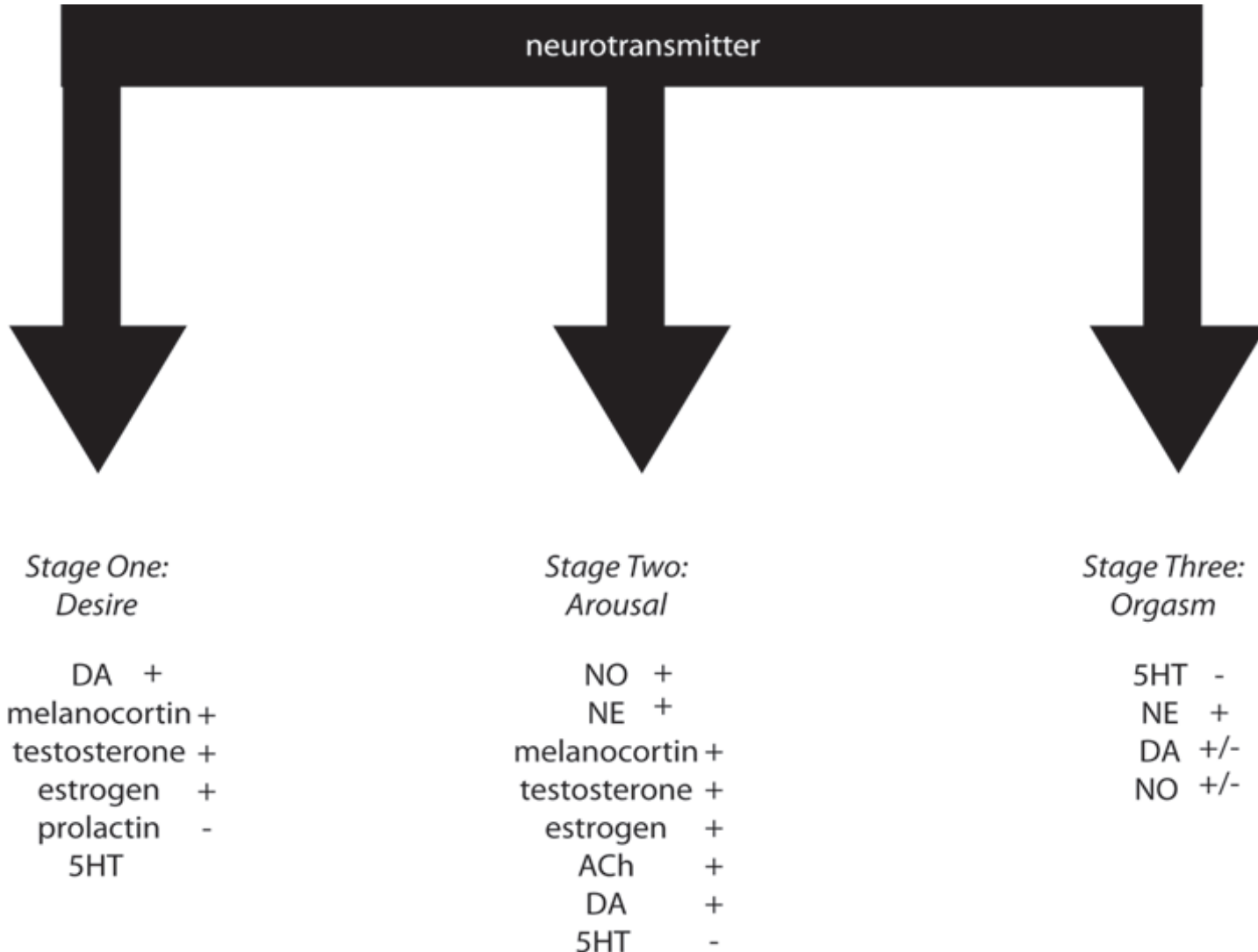
- χαμηλή σεξουαλική επιθυμία
- διαταραχη της διέγερσης
- οργασμική διαταραχή
- πόνος που σχετίζεται με τη σεξουαλική διέγερση ή την κολπική επαφή.

Αλληλεπιδράσεις μεταξύ νευροδιαβιβαστών, φυλετικών ορμονών και περιβαλλοντικών παραγόντων – υπεύθυνοι για εμφάνιση σεξουαλικών διαταραχών.

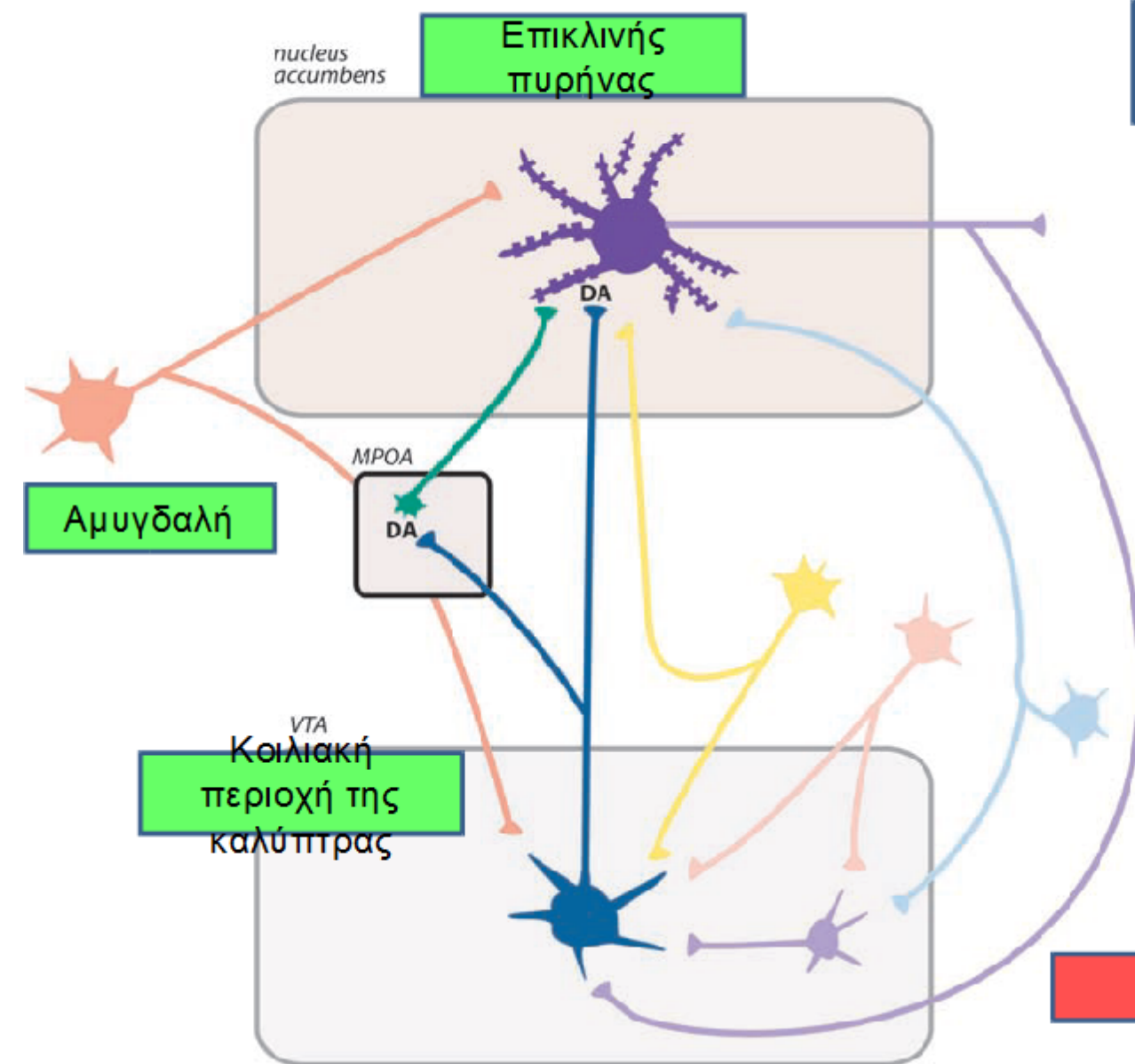
ΤΑΞΙΝΟΜΗΣΗ ΤΩΝ ΣΕΞΟΥΑΛΙΚΩΝ ΔΙΑΤΑΡΑΧΩΝ ΣΤΙΣ ΓΥΝΑΙΚΕΣ



# Νευροδιαβιβαστές και σεξουαλική απόκριση



# Σεξουαλική επιθυμία: Τα νευρωνικό κύκλωμα της ανταμοιβής

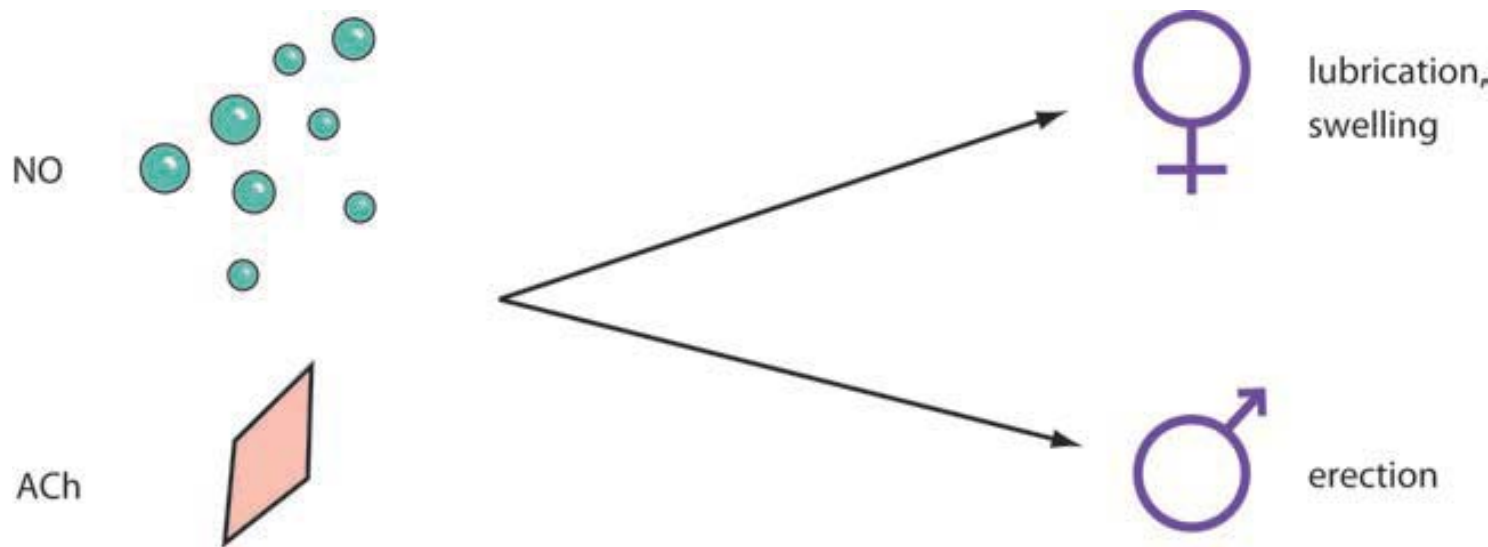


Ο ρόλος της ντοπαμίνης

Σεξουαλική επιθυμία:  
Ντοπαμινεργικές προβολές από VTA προς nucleus accumbens άμεσα είτε έμμεσα μέσω υποθαλάμου (MPOA).

Mignon, 2009 (HSDD)

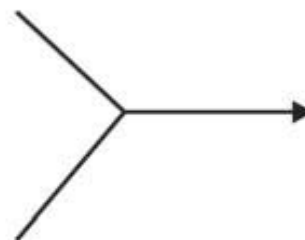
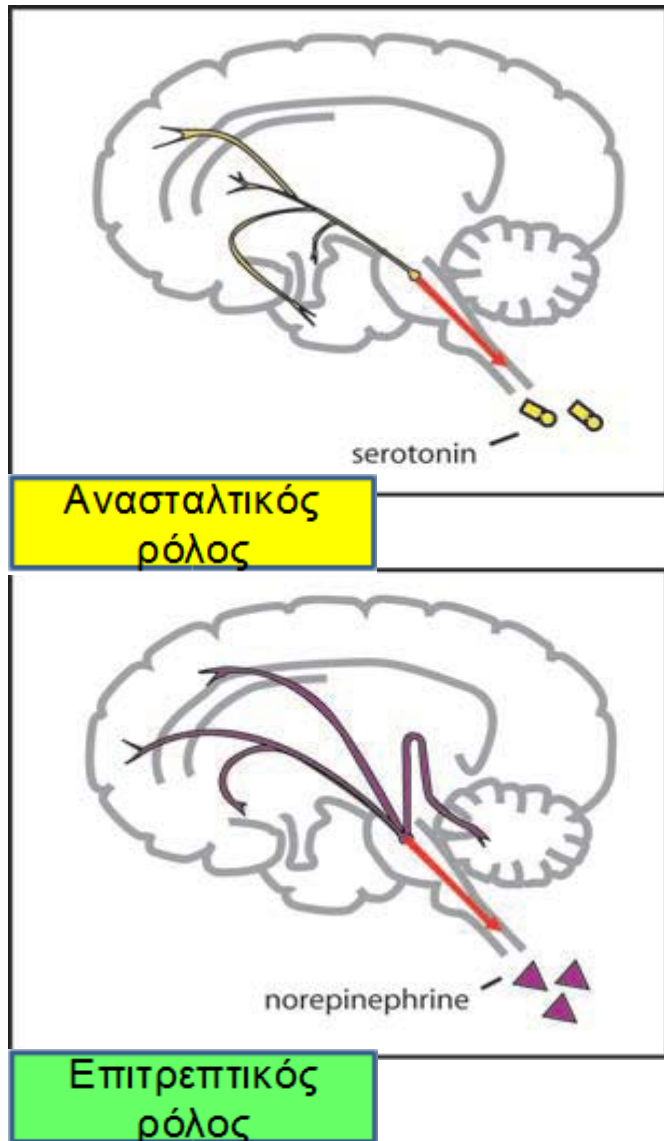
## Σεξουαλική διέγερση: Νευροδιαβιβαστές



Σεξουαλική διέγερση: Απαγωγές αυτόνομες νευρικές απολήξεις

Ακετυλοχολίνη: Παρασυμπσθητική νεύρωση  
ΝΟ: Χάλαση των λείων μυικών ινών των αγγείων

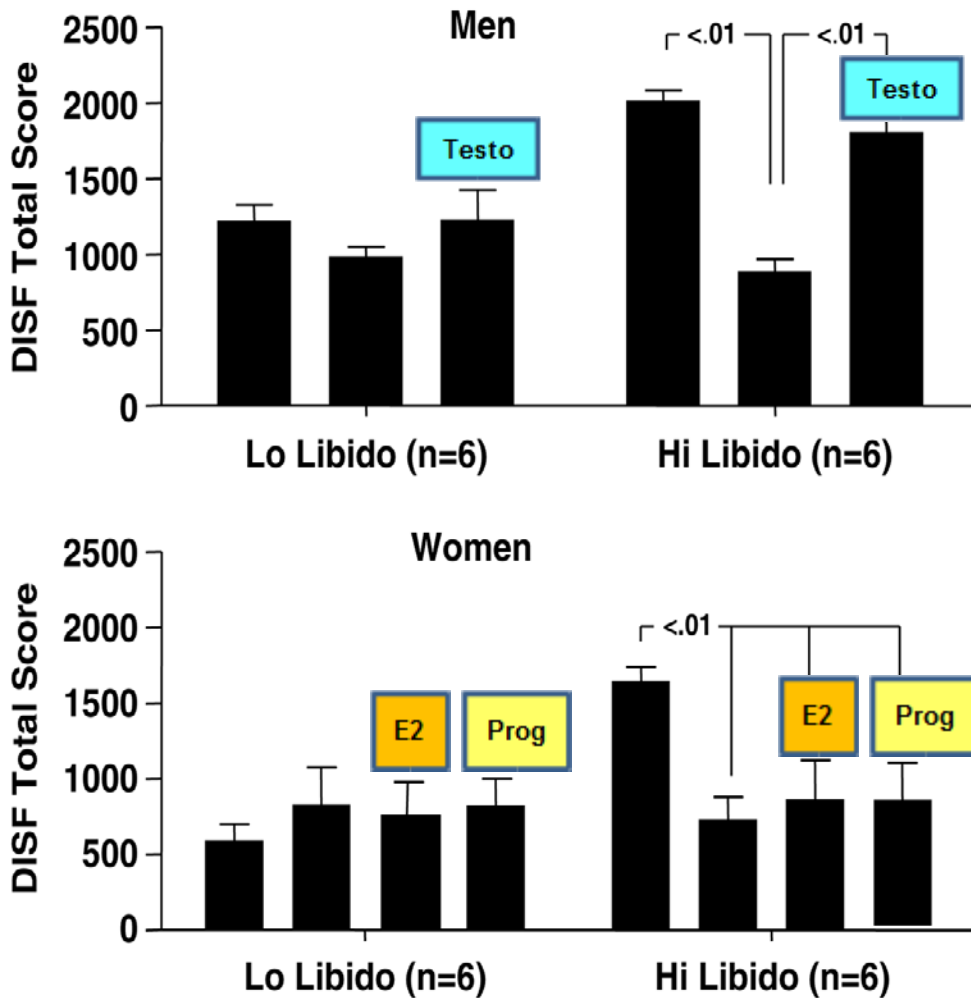
# Οργασμός: Νευροδιαβιβαστές



Mignon, 2009 (HSDD)

# Σεξουαλική λειτουργία της γυναίκας: Ο ρόλος της τεστοστερόνης

Φαρμακολογικά επαγόμενος υπογοναδισμός

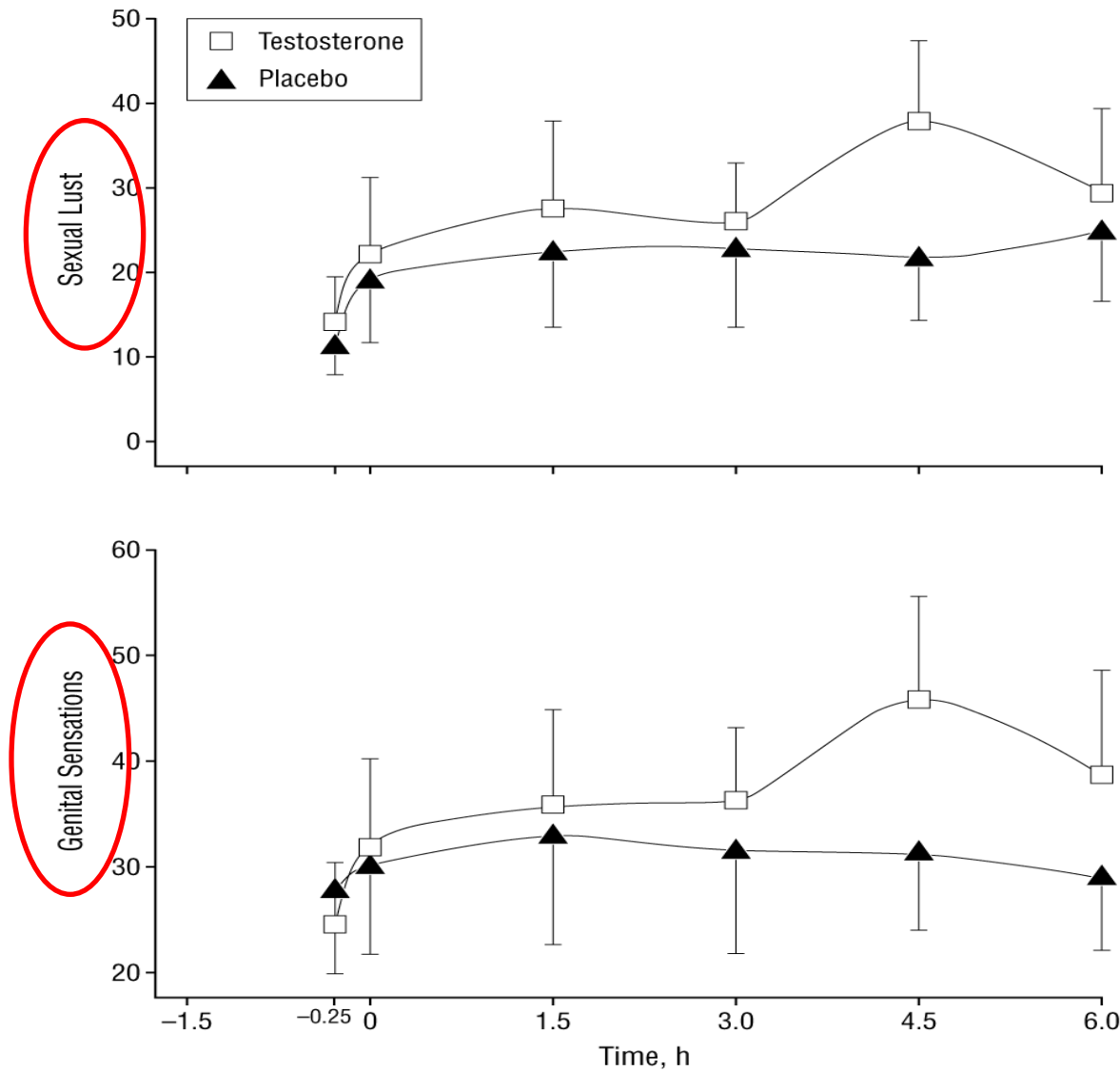


Schmidt et al, 2009

1. Όσο υψηλότερα είναι τα αρχικά επίπεδα σεξουαλικής δραστηριότητας τόσο μεγαλύτερη είναι η μεταβολή τους στην υπογοναδική φάση.
2. Άνδρες: Η επαναφορά των επιπέδων τεστοστερόνης επαναφέρει την σεξουαλική λειτουργία.
3. Γυναίκες: Η επαναφορά των επιπέδων οιστραδιόλης και προγεστερόνης δεν επαναφέρει τα επίπεδα σεξουαλικής λειτουργίας.

Πιθανός ο ρόλος της τεστοστερόνης

# Χορήγηση τεστοστερόνης σε ευγοναδικές γυναίκες

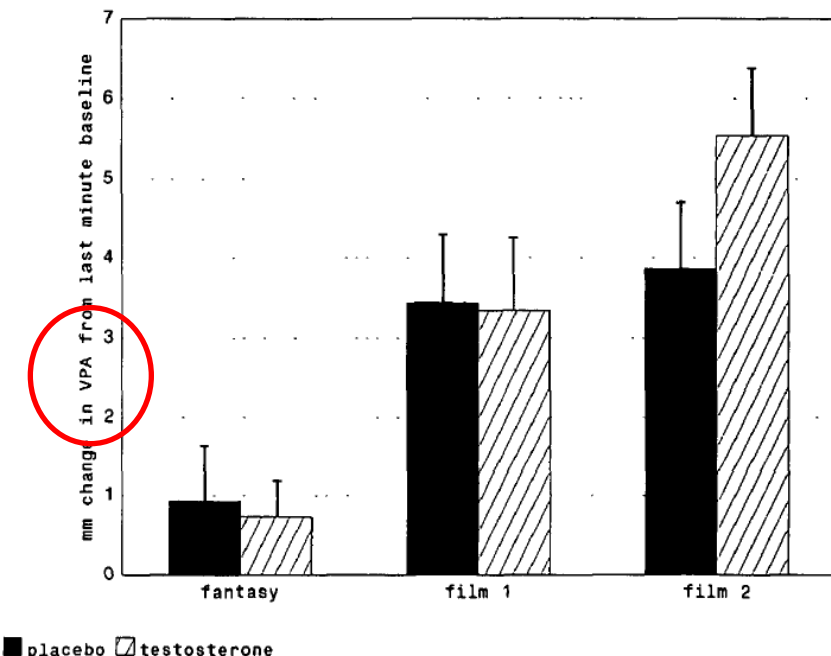
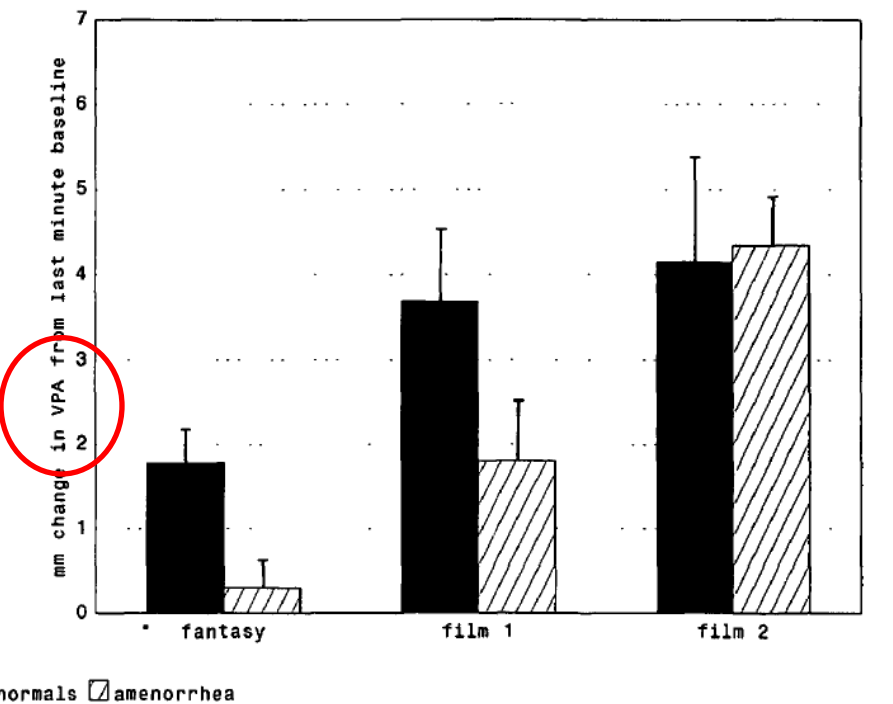


Η χορήγηση τεστοστερόνης σε ευγοναδικές γυναίκες με φυσιολογική σεξουαλική δραστηριότητα είχε σαν αποτέλεσμα την αύξηση της αναφερόμενης σεξουαλικής επιθυμίας και της κολπικής υπεραιμίας.

Tuiten et al, 2000

# Υποθαλαμική αμηνόρροια: Μη σημαντικά αυξημένη κολπική υπεραιμία μετά από τη χορήγηση τεστοστερόνης

VPA (Φωτοπληθυσμογράφος): Εκτίμηση της κολπικής υπεραιμίας



Η χορήγηση τεστοστερόνης σε γυναίκες με υποθαλαμική αμηνόρροια δεν οδηγεί σε σημαντική αύξηση της σεξουαλικής διέγερσης βάσει αντικειμενικών μετρήσεων (VPA)

Tuiten et al, 1996

# Υποθαλαμική αμηνόρροια: Καμία μεταβολή στην αναφερόμενη σεξουαλική διέγερση μετά από τη χορήγηση τεστοστερόνης

TABLE 1. Differences Between Amenorrheic and Normally Menstruating Women on a Number of Indices for Sexual Functioning, Lifestyle, and Bodily Conditions

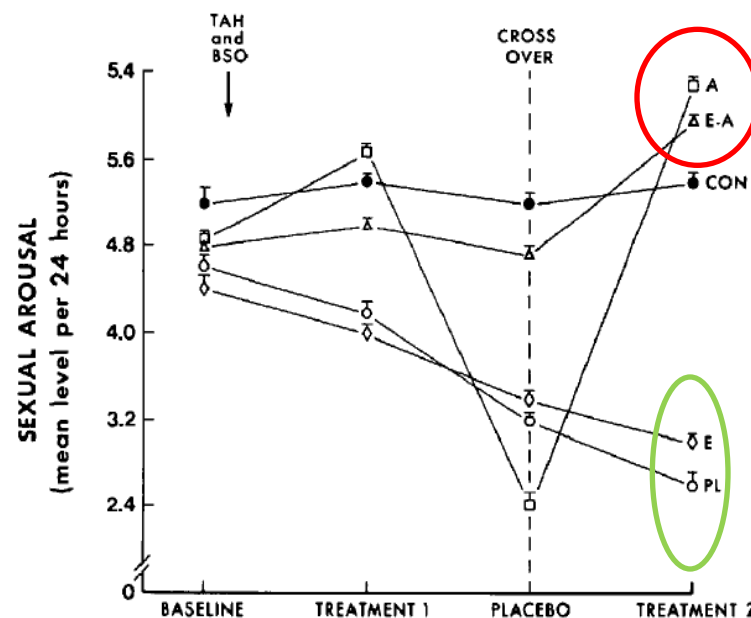
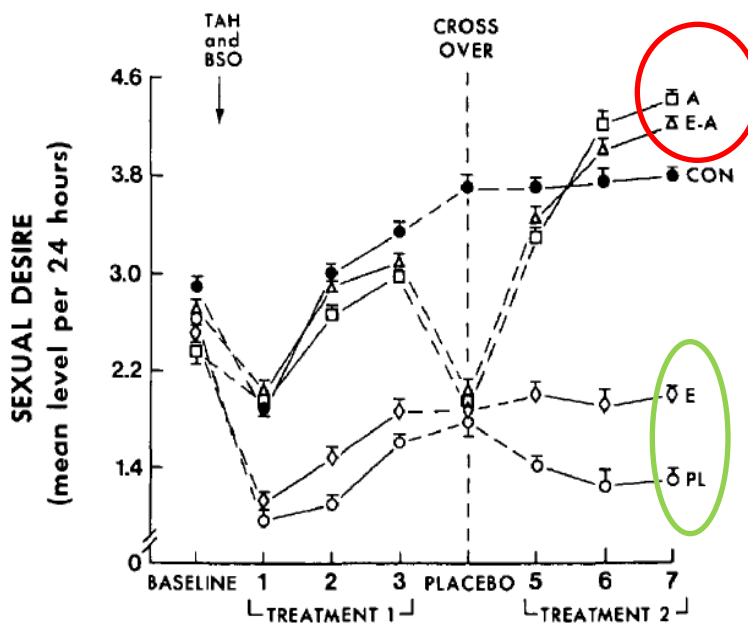
	Normally Menstruating Women (N = 8) <sup>a</sup>	Amenorrheic Women (N = 8) <sup>a</sup>	t Value	p Value
Age (yr)	25.1 (1.3)	26.9 (1.8)		
Sexual functioning				
SIS (sexual behavior) <sup>b</sup>	73.9 (2.20)	49.5 (5.94)	-3.94	<.004
SIS (sexual fantasy) <sup>c</sup>	33.0 (2.90)	21.0 (3.20)	-2.75	<.020
GAS (CAPSUM): Daily logs (weekly scores)	3.05 (0.14)	2.03 (0.29)	-3.26	<.01
Frequency sexual thoughts	11.6 (1.8)	6.2 (1.6)	-2.24	<.050
Frequency masturbation	2.3 (0.9)	1.6 (0.4)		NS
Frequency sexual desire	10.0 (1.7)	2.1 (0.74)	-4.47	<.002
Frequency desire sexual activity	9.7 (1.4)	1.9 (0.7)	-5.06	<.001
Frequency sexual activity	4.6 (1.3)	0.4 (0.4)	-3.13	<.020
Lifestyle and bodily conditions				
Body Mass Index	20.9 (0.49)	19.1 (0.22)	-3.23	<.007
Bodily exercise (h weekly)	1.1 (0.6)	3.4 (1.0)	1.97	<.070
Vegetarian diet	N = 0	N = 5		
Weight loss (kg) before amenorrhea	x	5.5 (1.4)		
Duration amenorrhea (mo)	x	46 (15.3)		
Testosterone level (nmol/l)	1.38 (0.13)	0.84 (0.07)	-3.79	<.003
Mood (five subscales of the POMS): no significant differences between the groups				

Μετά από τη χορήγηση τεστοστερόνης δεν αναφέρθηκε βελτίωση των παραμέτρων σεξουαλικής διέγερσης.

Tuiten et al, 1996

# Μετεμμηνοπαυσιακές γυναίκες: Ανδρογόνα και σεξουαλική διέγερση σε γυναίκες χωρίς αναφερόμενη σεξουαλική δυσλειτουργία

Ορμονικοί χειρισμοί **αμέσως μετά** τη ριζική υστερεκτομή μετ' εξαρτημάτων



Οι γυναίκες που έλαβαν είτε οιστραδιόλη + τεστοστερόνη είτε τεστοστερόνη μετεγχειρητικά είχαν **υψηλότερα επίπεδα σεξουαλικού ενδιαφέροντος και διέγερσης** συγκριτικά με τις γυναίκες που έλαβαν οιστραδιόλη είτε placebo.

# Μετεμηνοπαυσιακές γυναίκες: Ανδρογόνα και σεξουαλική διέγερση σε γυναίκες με αναφερόμενη σεξουαλική δυσλειτουργία

TABLE 3. MEAN ( $\pm$ SD) SCORES ON THE BRIEF INDEX OF SEXUAL FUNCTIONING FOR WOMEN, EXPRESSED AS PERCENTAGES OF THE MEAN VALUES IN NORMAL WOMEN.\*

Ριζική υστερεκτομή μετέξαρτημάτων υπό αγωγή με οιστρογόνα				
Διαδοχική χορήγηση	BASE LINE	PLACEBO	150 $\mu$ g OF TESTOSTERONE PER DAY	300 $\mu$ g OF TESTOSTERONE PER DAY
Composite score	52 $\pm$ 27	72 $\pm$ 38	74 $\pm$ 37	81 $\pm$ 37†
Thoughts—desire	48 $\pm$ 31	67 $\pm$ 40	72 $\pm$ 40	77 $\pm$ 40
Arousal	58 $\pm$ 31	80 $\pm$ 40	73 $\pm$ 40	84 $\pm$ 40
Frequency of sexual activity	41 $\pm$ 31	53 $\pm$ 41	58 $\pm$ 40	64 $\pm$ 40‡
Receptivity—initiation	68 $\pm$ 33	89 $\pm$ 39	86 $\pm$ 39	92 $\pm$ 39
Pleasure—orgasm	48 $\pm$ 42	65 $\pm$ 53	70 $\pm$ 52	80 $\pm$ 52‡
Relationship satisfaction	73 $\pm$ 33	82 $\pm$ 32	86 $\pm$ 32	87 $\pm$ 32
Problems affecting sexual function	116 $\pm$ 48	108 $\pm$ 49	97 $\pm$ 49	98 $\pm$ 49

Η σεξουαλικότητα ορισμένων γυναικών είναι εξαρτώμενη από την τεστοστερόνη:

### Δεδομένα

- Αντιανδρογόνα: Αρνητικά αποτελέσματα στη σεξουαλική δραστηριότητα παρατηρήθηκαν στο 60% των γυναικών.

Appelt et al, 1986

- Ωοθηκεκτομή: Αρνητικά αποτελέσματα στη σεξουαλική δραστηριότητα παρατηρήθηκαν στο 50% των γυναικών.

Natherst-Boos, 1993

- Από του στόματος αντισυλληπτικά δισκία: Αρνητικά αποτελέσματα στη σεξουαλική δραστηριότητα παρατηρήθηκαν στο 47% των γυναικών (διακοπή των αντισυλληπτικών).

Sanders et al, 2001

Η σεξουαλικότητα ορισμένων γυναικών είναι εξαρτώμενη από την τεστοστερόνη:



### Λόγοι

- **Υποκείμενη ψυχοπαθολογία:**

#### Κατάθλιψη

Γυναίκες: Το 35.3% αναφέρει μειωμένο σεξουαλικό ενδιαφέρον  
Το 8.8% αναφέρει αυξημένο σεξουαλικό ενδιαφέρον

Άνδρες: Το 25.7% αναφέρει μειωμένο σεξουαλικό ενδιαφέρον  
Το 23.3% αναφέρει αυξημένο σεξουαλικό ενδιαφέρον

Angst, 1998

- **Γενετική πτοικιλότητα**

## Ψυχοδυναμικοί παράγοντες και σεξουαλική συμπεριφορά

	FSFI-full p	FSFI-full Pearson correlation
MaladAct	0,015	-0,173
MAs	0,015	-0,173
Inhib	0,001	-0,244
Proj_Id	0,026	-0,159
Withdr	0,034	-0,151
Isol	0,001	-0,232
whoqol_1	0,018	0,168
whoqol_secA	0,020	0,165
whoqol_secB	0,020	0,165
whoqol_secC	0,000	0,523
IIP40_LN	0,023	-0,162
IIP40_UD	0,037	-0,148
IIP40_ND	0,000	-0,250
IIP40_LD	0,000	-0,255

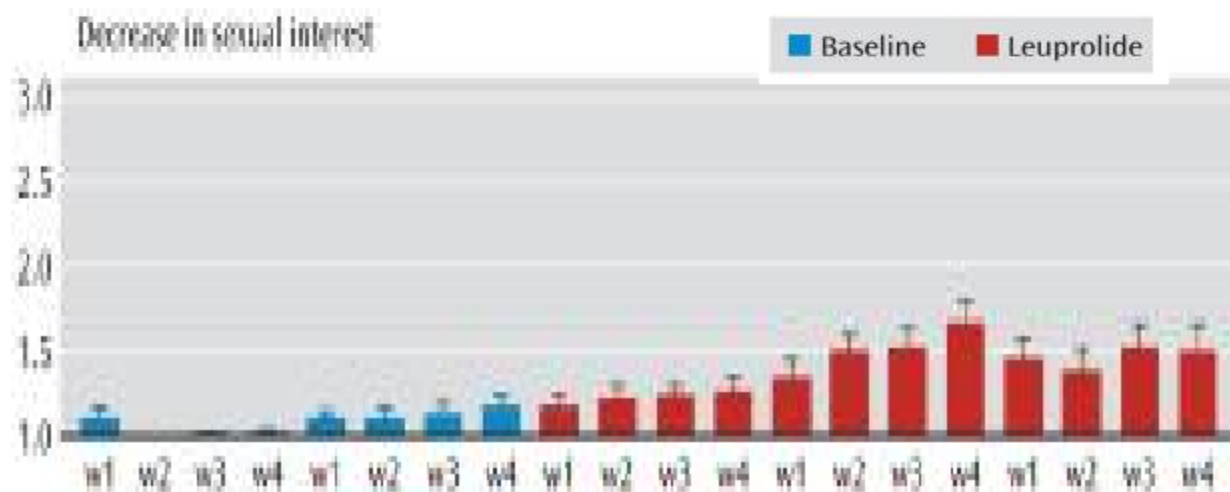
Armeni AK, Georgopoulos NA, unpublished data

# Επίδραση του φαρμακολογικά επταγόμενου υπογοναδισμού στη διάθεση και τη σεξουαλική συμπεριφορά σε υγιείς νεαρές γυναίκες

Decrease in sexual interest

Ben Dor et al, 2013

Επίδραση του φαρμακολογικά επταγόμενου υπογοναδισμού στη διάθεση και τη σεξουαλική συμπεριφορά σε υγιείς νεαρές γυναίκες



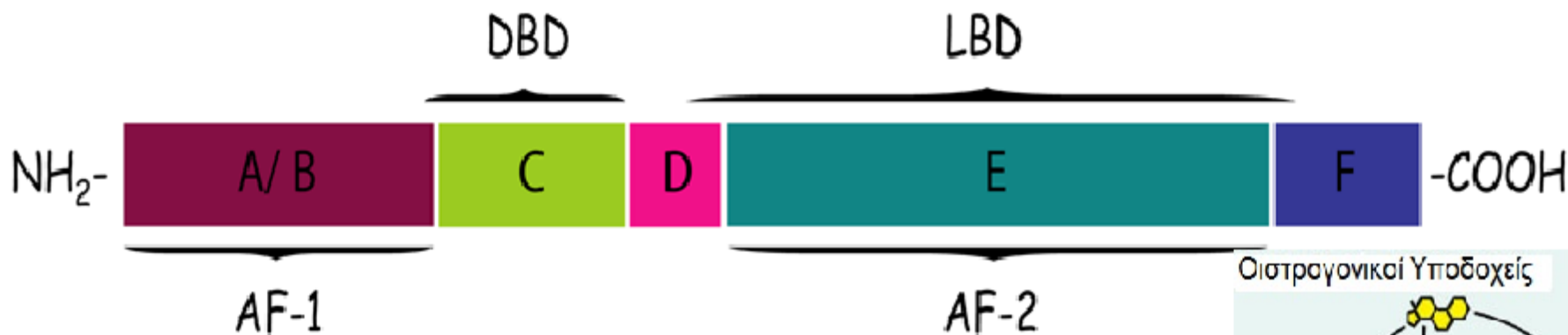
## Οιστρογόνα: Σεξουαλική επιθυμία

Outcome measure	Baseline		Leuprolide Treatment				Mixed model	Analysis
			Month 1		Months 2-3			
	Mean	SE	Mean	SE	Mean	SE	F Test	p
Estradiol (pg/mL)	67,2	32,2	254,8	32,2	26,8	32,1	14,4	<0,0001
BDI score	0,8	0,2	1,3	0,2	1,5	0,2	3,5	0,03
Nighttime hot flushes	1,0	0,1	1,3	0,1	2,2	0,1	52,3	<0,0001
Disturbed sleep	1,1	0,1	1,2	0,1	1,6	0,1	20,2	<0,0001
<b>Decrease in sexual interest</b>	1,1	0,1	1,2	0,1	1,5	0,1	12,9	<0,0001
Depression	1,1	0,02	1,1	0,02	1,1	0,02	0,7	n.s.
Anxiety	1,1	0,02	1,1	0,03	1,1	0,03	1,2	n.s.
Mood swings	1,1	0,03	1,1	0,03	1,1	0,03	0,1	n.s.
Irritability	1,1	0,03	1,2	0,03	1,2	0,03	1,4	n.s.
Fatigue	1,3	0,04	1,3	0,04	1,3	0,04	0,6	n.s.
Increase in appetite	1,2	0,03	1,1	0,03	1,1	0,03	1,2	n.s.

Ben-Dor et al, 2013

# ΟΙΣΤΡΟΓΟΝΙΚΟΙ ΥΠΟΔΟΧΕΙΣ (ERs)

- Ανήκουν στην υπεροικογένεια των πυρηνικών υποδοχέων.
- Διακρίνονται σε: **ER $\alpha$** - χρωμόσωμα 6 και **ER $\beta$** - χρωμόσωμα 14.
- Λειτουργικές περιοχές των υποδοχέων:

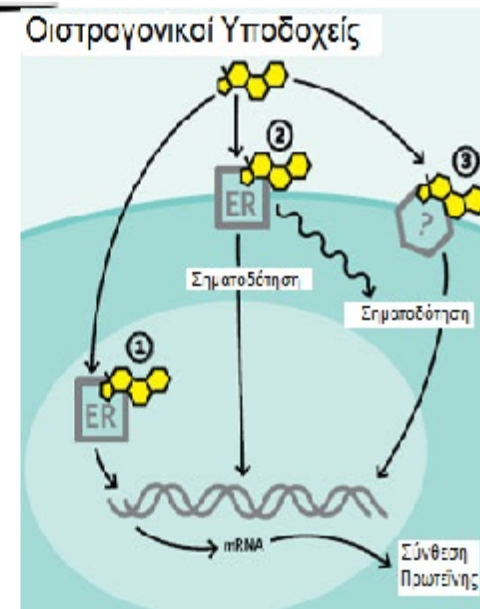


**DBD:** ΠΕΡΙΟΧΗ ΠΡΟΣΔΕΣΗΣ ΣΤΟ DNA

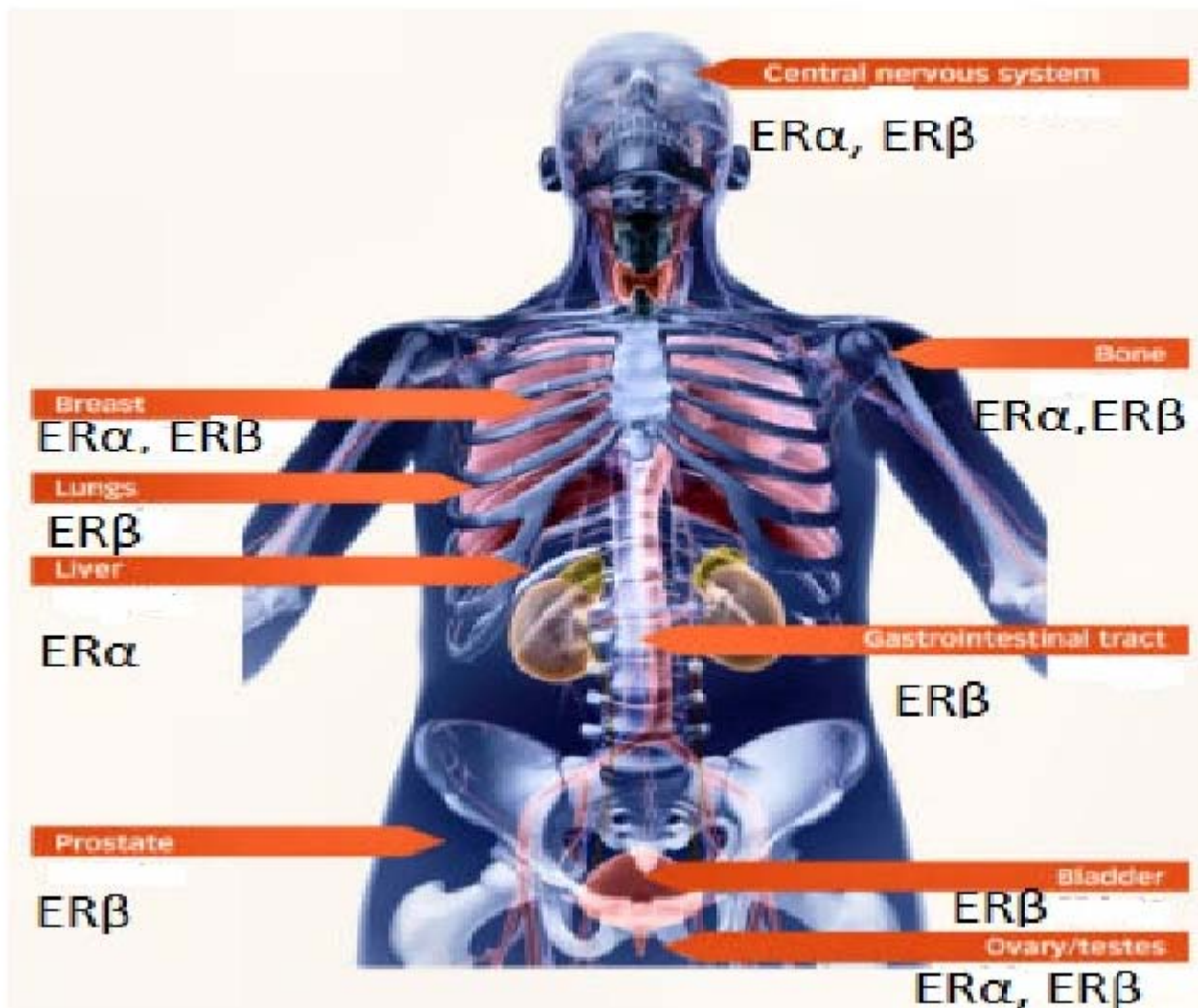
**LBD:** ΠΕΡΙΟΧΗ ΠΡΟΣΔΕΣΗΣ ΤΟΥ ΠΡΟΣΔΕΤΗ

**AF-1:** ΑΥΤΟΝΟΜΗ ΠΕΡΙΟΧΗ ΡΥΘΜΙΣΗΣ ΤΗΣ ΜΕΤΑΓΡΑΦΗΣ

**AF-2:** ΠΕΡΙΟΧΗ ΔΙΜΕΡΙΣΜΟΥ

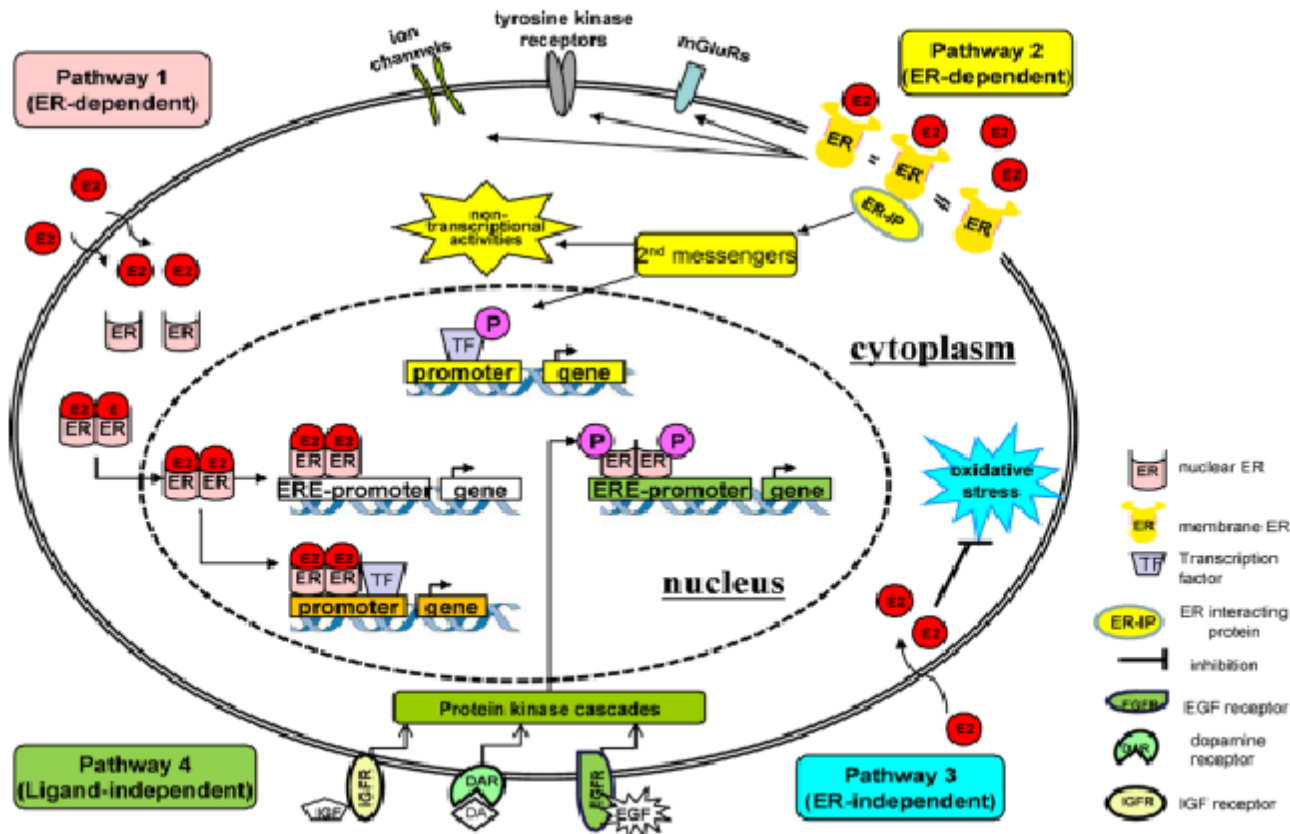


# ΚΑΤΑΝΟΜΗ ΥΠΟΔΟΧΕΩΝ ΣΤΟ ΑΝΘΡΩΠΙΝΟ ΣΩΜΑ



# ΜΗΧΑΝΙΣΜΟΙ ΔΡΑΣΗΣ ΤΩΝ ΟΙΣΤΡΟΓΟΝΩΝ :

- 1) Γονιδιωματικός μηχανισμός οιστρογονικής δράσης.
- 2) Μη Γονιδιωματικός μηχανισμός οιστρογονικής δράσης.
- 3) Μηχανισμός οιστρογονικής δράσης ανεξάρτητος των ERs.
- 4) Μηχανισμός οιστρογονικής δράσης ανεξάρτητος του προσδέματος .



## Πολυμορφισμοί PvuII και XbaI του υποδοχέα οιστρογόνων α (ERα)

**Table I.** Gene polymorphisms examined and their expected estrogen activities.

Polymorphism	dpSNP	Dominant allele / recessive allele (AF)	Expected estrogen activity of recessive allele
<i>ESR1</i> PvuII	rs2234693	T/C (58%/42%)	Low
<i>ESR1</i> XbaI	rs9340799	A/G (79%/21%)	Low
<i>ESR2</i> 2681-4A>G	rs944050	A/G (61%/39%)	Unknown

AF, allele frequency in control subjects ( $n = 286$ ).

## Pvull και Xbal: Συσχέτιση με αριθμό κυήσεων

Table 5: Mean number of children and pregnancies stratified by ESR1 genotypes in African-Ecuadorian women

ESR1 Genotype	Subjects	Children	Pregnancies
PP	7	5.4 ± 4.8	5.7 ± 5.1
Pp	32	7.1 ± 3.3	8.0 ± 3.9
pp	18	9.4 ± 3.1	10.4 ± 3.6
<i>P</i> -value		0.02	0.02
XX	2	7.6 ± 0.9	8.3 ± 0.9
Xx	28	6.6 ± 3.8	7.5 ± 4.5
xx	27	8.7 ± 3.4	9.5 ± 3.6
ANOVA <i>P</i> -value		0.12	0.20
PPXX/PPXx/PpXX	8	5.8 ± 4.5	6.1 ± 4.5
PpXx/Ppxx/ppXx	31	7.1 ± 3.4	8.0 ± 3.4
ppxx	18	9.4 ± 3.1	10.4 ± 4.0
<i>P</i> -value		0.03	0.03

### Pvull

P: wild-type  
p: polymorphic

### Xbal

X: wild-type  
x: polymorphic

# Σύγκριση των γονοτύπων ομάδων για τον πολυμορφισμό Pvull

ΜΕΤΑΒΛΗΤΕΣ	PVU			Στατιστική σημαντικότητα
	CC	CT	TT	
ΕΠΙΘΥΜΙΑ	4,22(1,10)	4,05(1,27)	4,16(1,46)	0,679
ΔΙΕΓΕΡΣΗ	5,16(,78)	4,43(1,78)	4,68(1,66)	0,399
ΕΦΥΓΡΑΝΣΗ	5,30(,85)	4,55(1,92)	4,84(1,74)	0,355
ΟΡΓΑΣΜΟΣ	5,0(1,02)	4,09(1,94)	4,43(1,67)	0,158
ΙΚΑΝΟΠΟΙΗΣΗ	5,33(,96)	4,67(1,64)	5,01(1,70)	0,285
ΠΟΝΟΣ	5,30(1,03)	4,54(2,00)	4,71(2,10)	0,499
FSFI	30,30(3,75)	26,33(9,23)	27,82(9,39)	0,300
FSH	5,99(1,84)	6,55(1,46)	6,62(1,72)	0,607
LH	5,55(3,47)	6,21(2,41)	6,36(2,76)	0,330
E2	47,45(18,91)	47,67(29,20)	45,48(14,77)	0,867
PROG	10,12(8,57)	7,70(6,37)	8,16(7,04)	0,927
TESTO	,39(,13)	,40(,16)	,38(,15)	0,505
SHBG	59,59(26,58)	78,91(132,58)	67,82(37,04)	0,915
FAI	2,90(2,08)	3,04(3,40)	2,62(1,98)	0,451

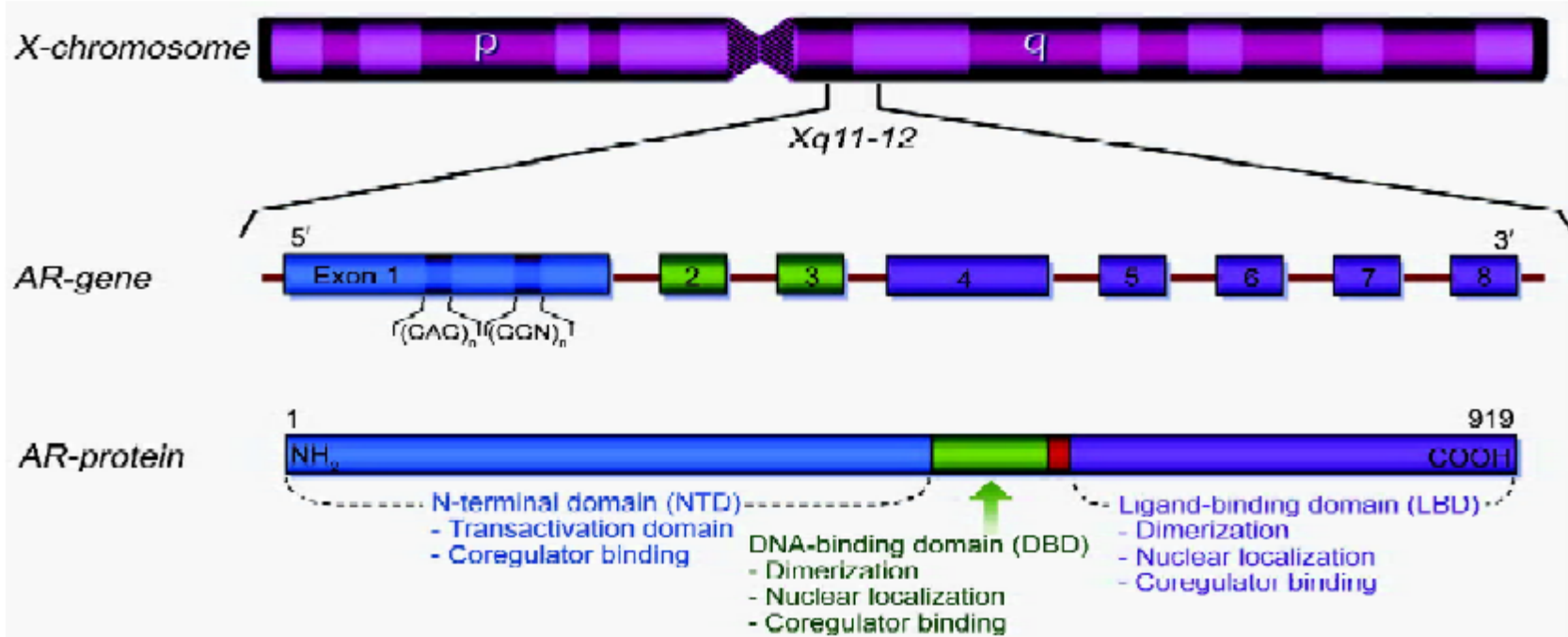
# Σύγκριση των γονοτύπων ομάδων για τον πολυμορφισμό XbaI

ΜΕΤΑΒΛΗΤΕΣ	ΧΒΑ			Στατιστική σημαντικότητα
	AA	AG	GG	
ΕΠΙΘΥΜΙΑ	4,50(1,17)	4,02(1,38)	4,13(1,02)	0,424
ΔΙΕΓΕΡΣΗ	4,98(1,50)	4,44(1,76)	5,14(,84)	0,368
ΕΦΥΓΡΑΝΣΗ	5,028(1,54)	4,633(1,90)	5,22(,98)	0,715
ΟΡΓΑΣΜΟΣ	4,61(1,64)	4,19(1,90)	4,85(1,13)	0,644
ΙΚΑΝΟΠΟΙΗΣΗ	5,27(1,43)	4,72(1,68)	5,25(1,08)	0,479
ΠΟΝΟΣ	5,10(1,67)	4,55(2,05)	5,23(1,09)	0,527
FSFI	29,42(8,21)	26,54(9,32)	29,81(4,27)	0,467
FSH	6,93(1,80)	6,47(1,53)	6,08(1,80)	0,653
LH	6,11(2,60)	6,08(2,50)	5,91(3,70)	0,708
E2	43,26(12,62)	48,23(27,95)	46,40(16,97)	0,945
PROG	8,50(7,20)	7,64(6,56)	10,73(8,46)	0,306
TESTO	,360(,13)	,406(,16)	,373(,11)	0,333
SHBG	66,85(36,93)	76,66(122,15)	61,14(27,80)	0,964
FAI	2,64(2,20)	3,064(3,30)	2,650(1,70)	0,644

# Σύγκριση των γονοτύπων ομάδων για τον πολυμορφισμό Pvull & XbaI

ΜΕΤΑΒΛΗΤΗ	Στατιστική σημαντικότητα ( $p<0,05$ ) PVU*ΧΒΑ
ΕΠΙΘΥΜΙΑ	0,507
ΔΙΕΓΕΡΣΗ	0,556
ΕΦΥΓΡΑΝΣΗ	0,854
ΟΡΓΑΣΜΟΣ	0,988
ΙΚΑΝΟΠΟΙΗΣΗ	0,809
ΠΟΝΟΣ	0,405
FSFI	0,742
FSH	<b>0,031</b>
LH	0,862
E2	0,838
PROG	0,962
TESTO	0,195
SHBG	0,849
FAI	0,400

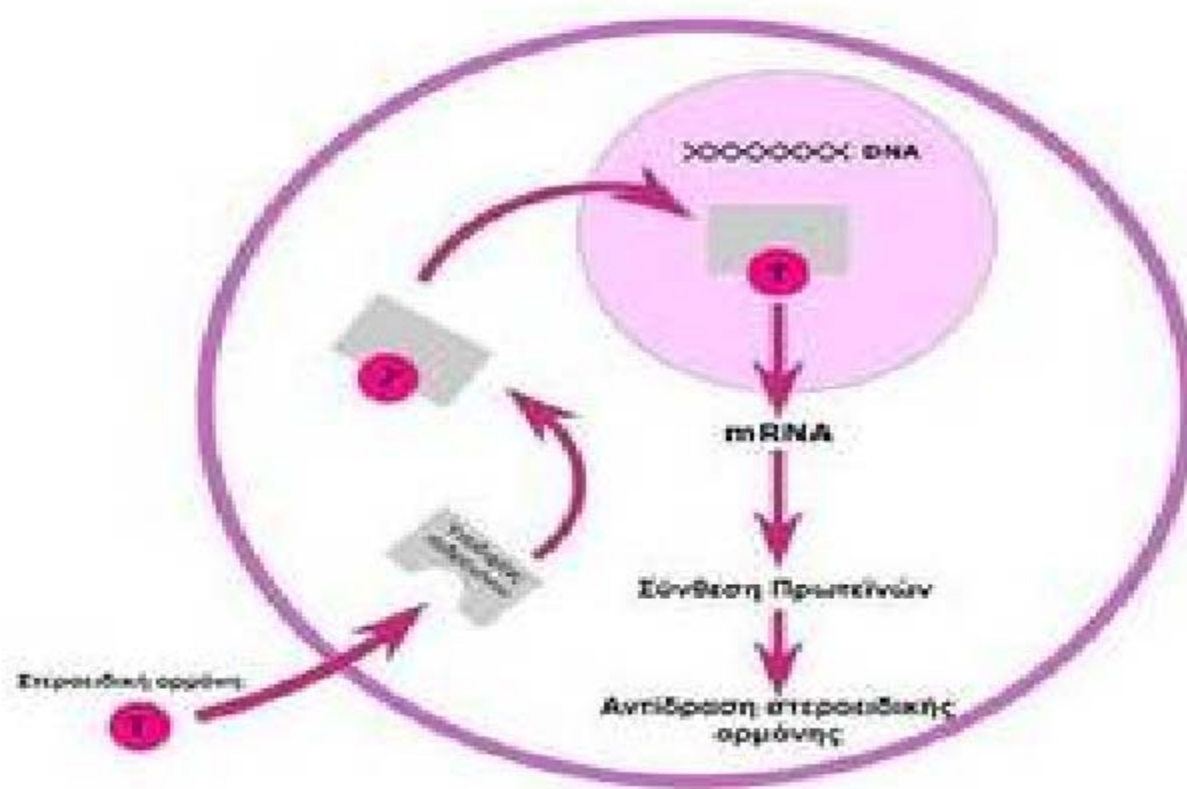
# Υποδοχέας των ανδρογόνων: Μοτίβα πολυμορφικών επαναλήψεων CAG και GGN



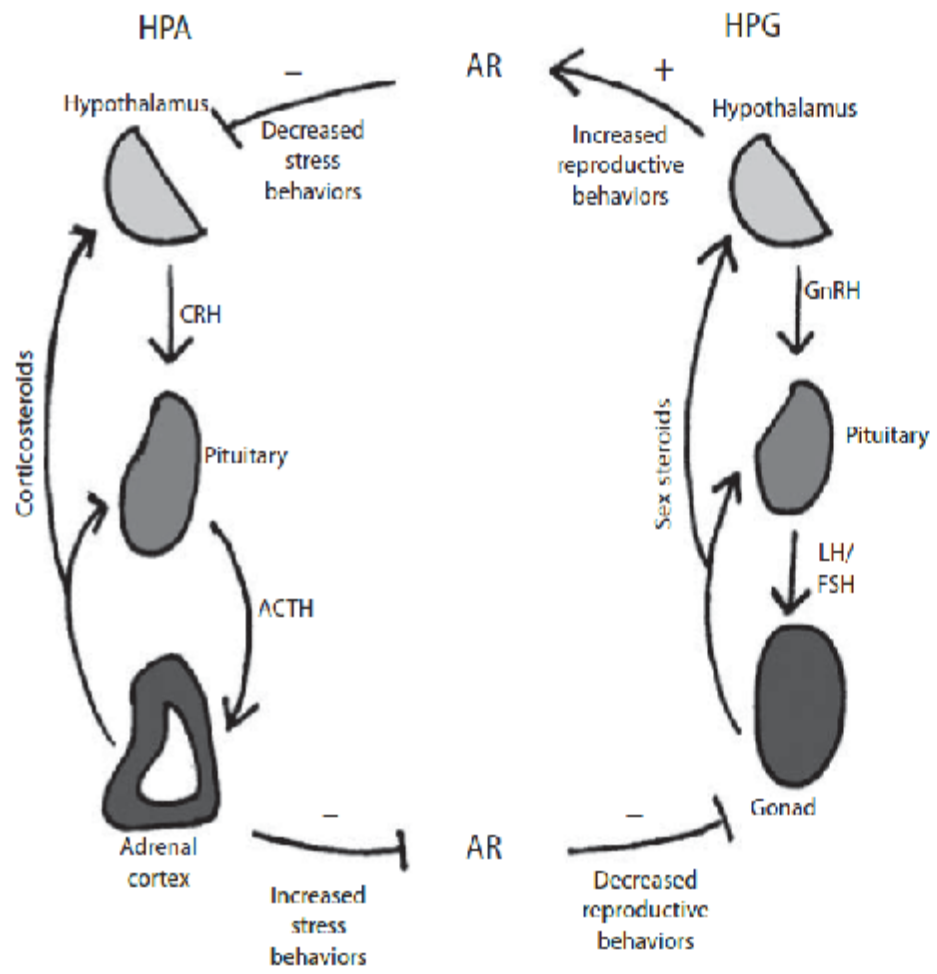
Ο αριθμός των CAG επαναλήψεων κυμαίνεται από 8-35 στα φυσιολογικά άτομα. Μεγαλύτερος αριθμός επαναλήψεων έχει δειχτεί ότι οδηγεί σε μείωση της μεταγραφικής δραστηριότητας του AR σε *in vivo* και *in vitro* πειράματα.

Ο αριθμός των GGN επαναλήψεων κυμαίνεται από 10-30 στα φυσιολογικά άτομα. Απαλοιφή του τρινουκλεοτίδιου έχει αποδειχθεί ότι μειώνει την μεταγραφική ικανότητα του AR κατά 30%.

## Μηχανισμός δράσης ανδρογόνων



# Υποδοχέας των ανδρογόνων: Cross-talk των αξόνων υποθαλάμου-υπόφυσης-γονάδων και υποθαλάμου-υπόφυσης-επινεφριδίων



**Fig. 1. AR control of HPG and HPA axis.** Activation of the HPG axis results in increased AR activation, resulting in decreased activation of the HPA axis. Conversely, HPA axis activation decreased AR activation and subsequent HPG activation. HPA and HPG axis can modulate each other at the level of the AR. GnRH = Gonadotropin-releasing hormone; LH = luteinizing hormone; FSH = follicle-stimulating hormone; ACTH = adrenocorticotrophic hormone; CRH = corticotropin-releasing hormone.

# Μικρός αριθμός CAG επαναλήψεων του ανδρογονικού υποδοχέα: Αυξημένη ευαισθησία στα ανδρογόνα

ΠΡΩΤΙΜΗ ΗΒΗ

**TABLE 1.** Body size, biochemical variables, and clinical features of ovarian hyperandrogenism by *AR* gene CAG repeat length, in post-menarcheal Barcelona precocious pubarche girls

	Average CAG allele length		<i>P</i> value
	≤20 (n = 11)	>20 (n = 58)	
Birth weight (SDS)	-1.4 (-2.2 to -1.5)	-0.8 (-2.1 to 0.4)	0.2
Current BMI (SDS)	1.1 (-0.4–2.7)	0.9 (0.7–1.0)	0.5
Current age (yr)	15.5 (14.7–16.2)	15.2 (15.0–15.5)	0.7
17-OH progesterone (ng/dl)	207.9 (135–321)	139.8 (89–220)	0.009 <sup>a</sup>
Testosterone (nmol/liter)	3.2 (1.8–5.3)	2.1 (1.2–3.5)	0.02 <sup>a</sup>
Mean serum insulin (SDS)	4.5 (1.4–7.7)	2.4 (0.2–4.7)	0.01 <sup>a</sup>
Insulin sensitivity (%HOMA)	62.1 (45–86)	68.2 (45–102)	0.5
SHBG (SDS)	-1.6 (-2.1 to -1.2)	-1.1 (-1.9 to -0.3)	0.04 <sup>a</sup>
HDL cholesterol (mg/dl)	56.3 (43–69)	58.2 (45–71)	0.7
LDL cholesterol (mg/dl)	108.5 (78–151)	98.5 (68–144)	0.4
Triglycerides (mg/dl)	92.1 (75–113)	78.5 (52–119)	0.2
Hirsuitism score	13.6 (8–22)	10.0 (7–14)	0.01 <sup>a</sup>
Acne			
No/mild	4 (36.4%)	41 (70.7%)	0.08 <sup>a,b</sup>
Moderate	5 (45.5%)	10 (17.2%)	
Severe	2 (18.2%)	7 (12.1%)	
Menstrual cycles			
Normal	4 (36.4%)	40 (69.0%)	0.04 <sup>a,c</sup>
Oligomenorrhoea	4 (36.4%)	15 (25.9%)	
Amenorrhoea	3 (27.3%)	3 (5.2%)	

Ibanez et al, 2003

## Μικρός αριθμός CAG επαναλήψεων του ανδρογονικού υποδοχέα: Διεγερτικό ερέθισμα για την παραγωγή ανδρογόνων

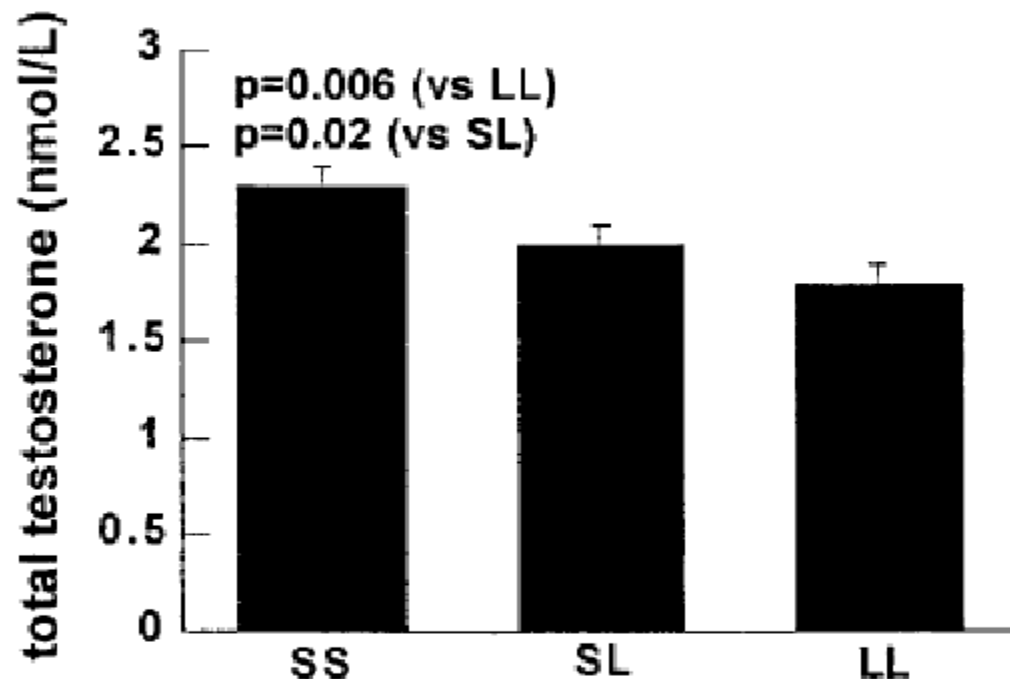
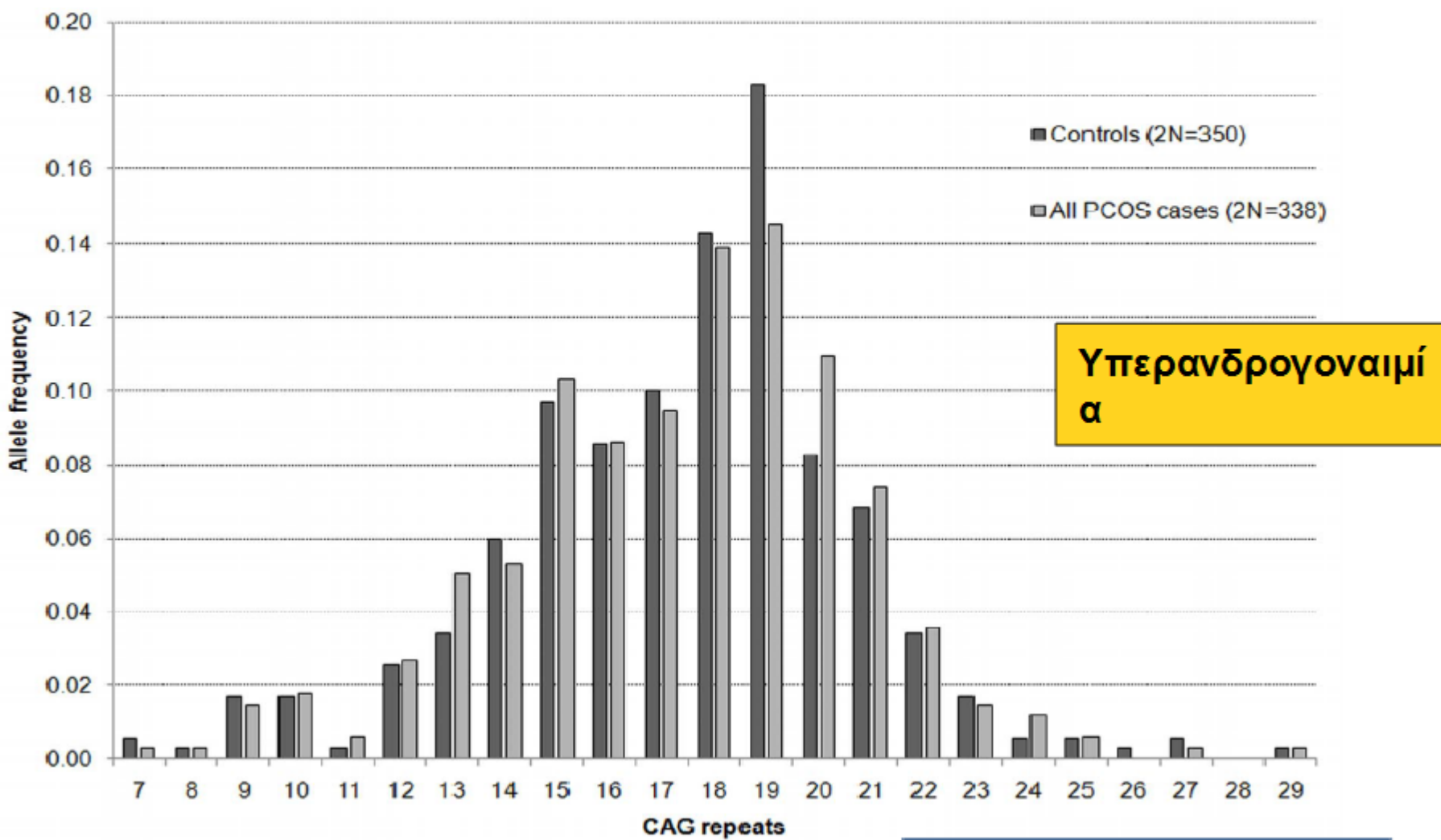


FIG. 2. Levels of total testosterone in subjects carrying the SS, SL, and LL variants of the AR gene, respectively.

# Κατανομή συχνοτήτων των CAG αλληλομόρφων σε γυναίκες με PCOS και μάρτυρες



# Αριθμός CAG επαναλήψεων: Διαμόρφωση της σεξουαλικής συμπεριφοράς

A

Sex difference

Present before birth

CAG repeats in AR

Females with CAH

Males with CAH

AIS females

B

Lesbians < Heterosexual

-r ADHD symptoms

-r Autism symptoms

-r Aggressive behavior

-r Trading success

+r Eating disorder risk

Prenatal androgens  
affect 2D:4D in humans

## Organizational Hypothesis

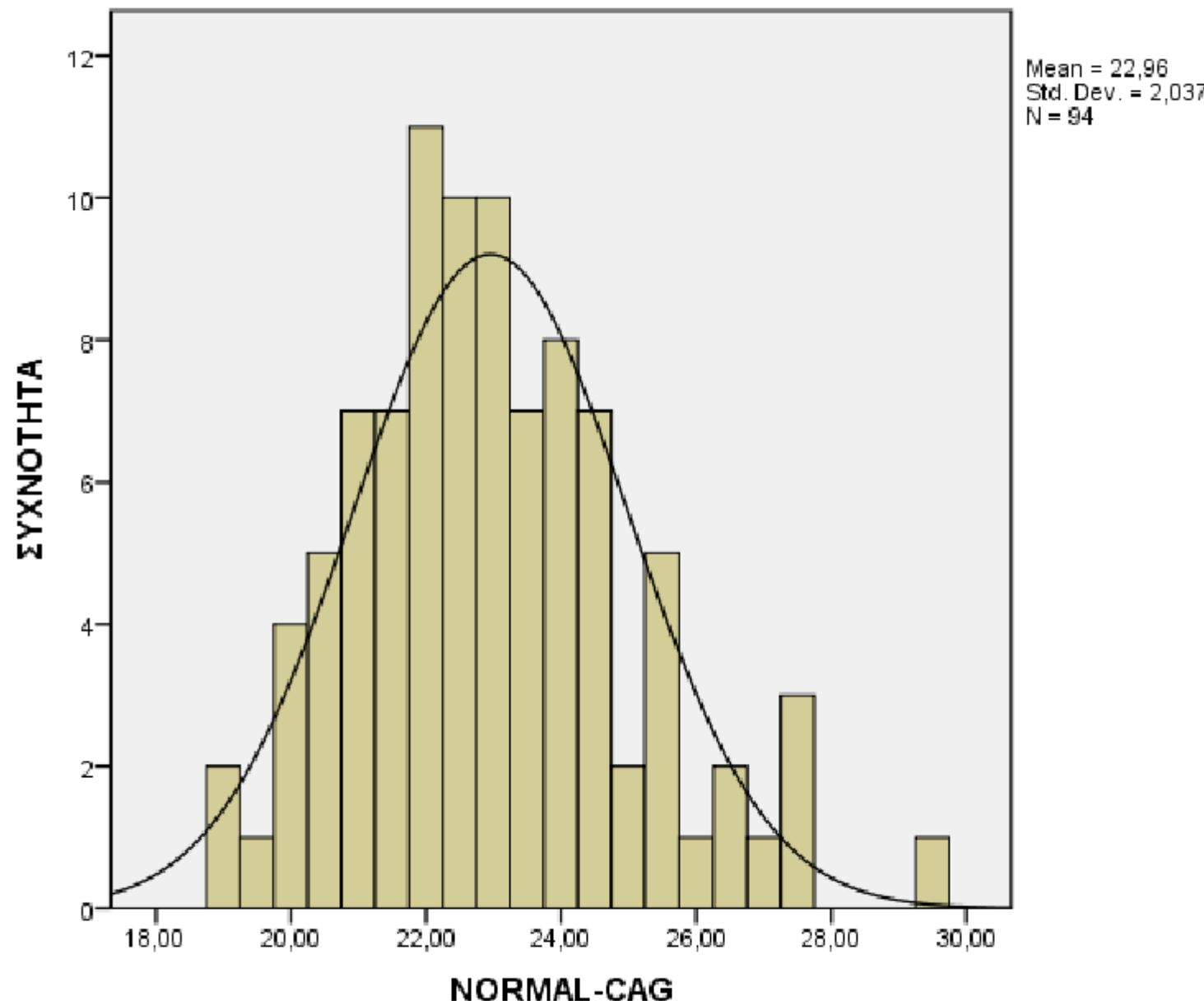
Αριθμός CAG  
επαναλήψεων  
του ανδρογονικού  
υποδοχέα

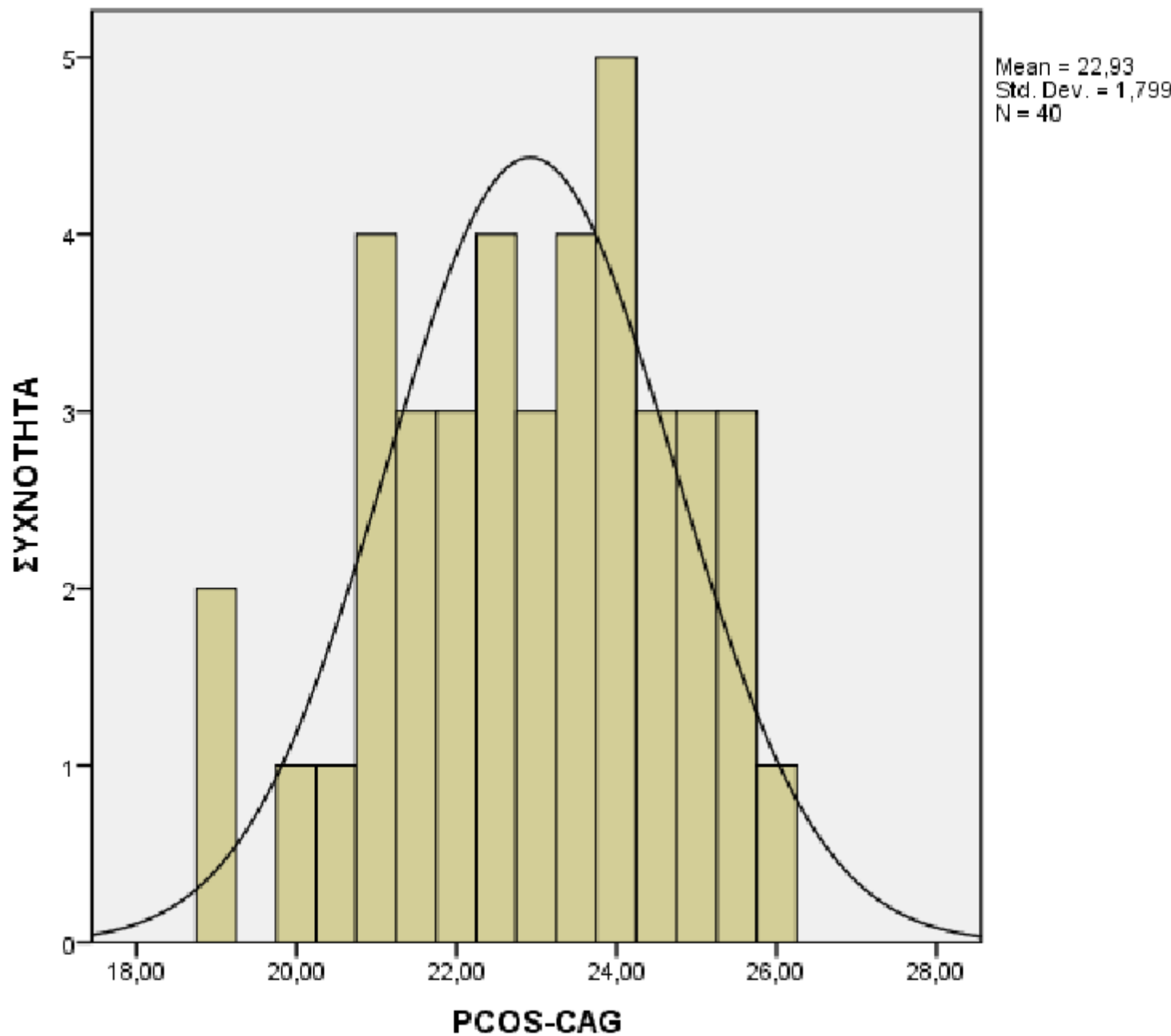
Ενδομήτρια  
παραγωγή  
ανδρογόνων

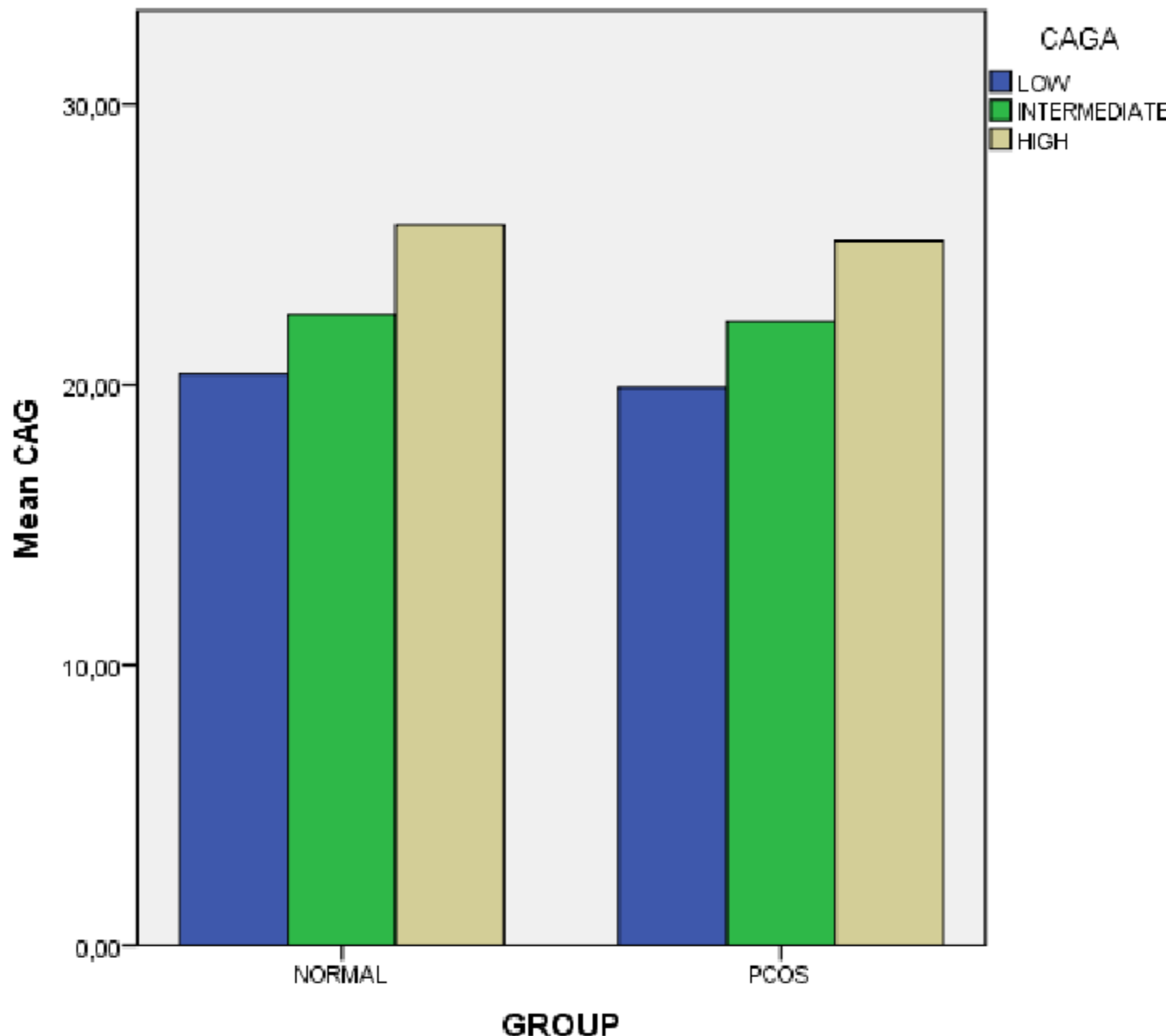
Many human behaviors  
displaying sex differences  
are influenced, at least in  
part, by androgens

Σεξουαλική  
συμπεριφορά

Breedlove et al, 2010





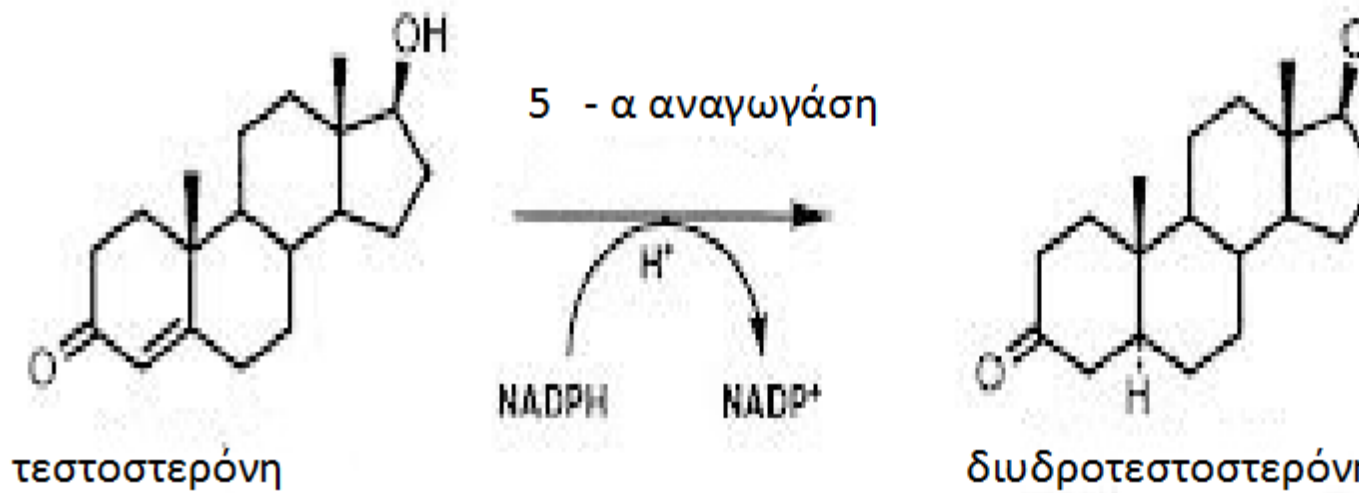


# Αριθμός CAG επταναλήψεων: Συσχέτιση με σεξουαλική συμπεριφορά σε γυναίκες με PCOS

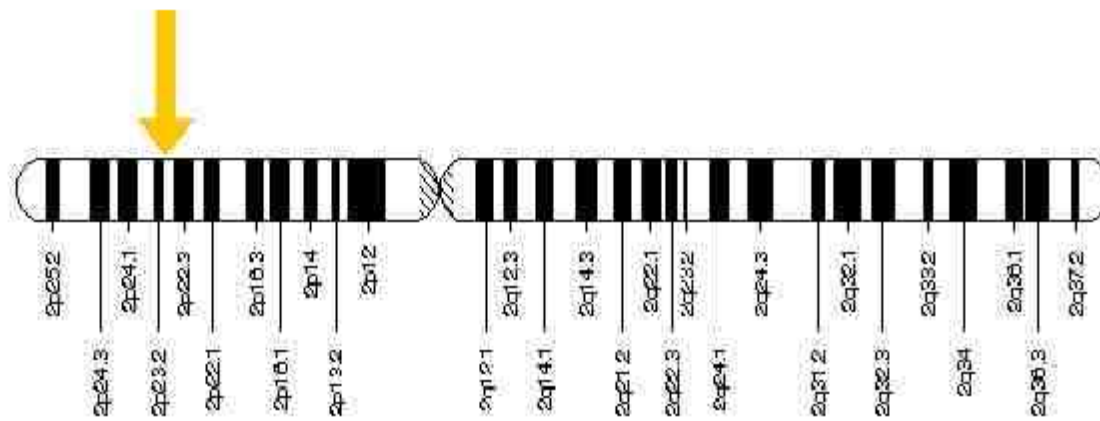
	Low	PCOS Intermediate	High	PCOS * CAG		
				p	p	p
ΗΛΙΚΙΑ	22,40±1,14	23,00±1,41	21,00±1,60			
BMI (Kgr/m2)	23,74±5,90	-	18,59± -			
FSH (mIU/ml)	6,56±1,87	8,08±1,33	5,89±1,09	0,217	0,285	0,104
LH (mIU/ml)	4,17±1,44	7,42±2,10	5,89±2,28	0,945	0,800	0,255
E2 (pg/ml)	60,98±12,06	35,23±2,48	49,70±15,21	0,627	0,627	<b>0,036</b>
PROGESTERONE (ng/ml)	9,71±3,85	4,95± -	10,27±7,01	0,168	0,407	0,806
TESTOSTERONE (ng/dl)	0,57±0,07	0,60±0,15	0,60±0,11	0,000	0,160	0,666
SHBG (nmol/l)	37,93±4,86	59,14±9,18	56,33±29,55	0,273	0,339	0,644
FAI	5,27±0,55	3,62±1,48	6,50±7,48	0,434	0,434	0,766
ΕΠΙΘΥΜΙΑ	4,68±0,99	4,50±0,42	4,20±0,79	0,229	0,816	0,258
ΔΙΕΓΕΡΣΗ	5,10±0,90	4,65±1,06	4,87±0,83	0,700	0,855	0,749
ΕΦΥΓΡΑΝΣΗ	4,86±1,09	4,80±0,00	4,95±0,99	0,103	0,931	0,814
ΟΡΓΑΣΜΟΣ	4,48±1,37	4,20±0,28	4,75±1,08	0,809	0,700	0,982
ΙΚΑΝΟΠΟΙΗΣΗ	4,56±1,64	5,20±0,00	5,65±0,40	0,731	<b>0,069</b>	0,626
ΠΟΝΟΣ	4,88±1,18	5,60±0,56	5,75±0,47	0,264	0,689	0,530
FSFI	28,56±6,36	28,95±1,48	30,17±3,16	0,857	0,973	0,635
ΗΛΙΚΙΑ ΠΡΩΤΗΣ ΕΠΑΦΗΣ	17,60±2,41	19,50±2,12	18,00±0,76	0,524	0,502	0,635
ΑΡΙΘΜΟΣ ΣΥΝΤΟΦΩΝ	3,60±3,29	3,00±2,83	2,13±1,13	0,362	0,369	0,931
ΚΑΤΑΘΛΙΨΗ	4,20±4,49	4,00±0,00	3,13±2,47	0,252	0,569	0,965
ΑΓΧΟΣ	7,80±3,90	4,00±2,83	5,63±2,82	0,082	0,625	0,318

## SRD5A2 Γονίδιο

παρέχει οδηγίες για την παραγωγή ενός ενζύμου που ονομάζεται στεροειδών 5 - alpha αναγωγάση



Θέση SRD5A2

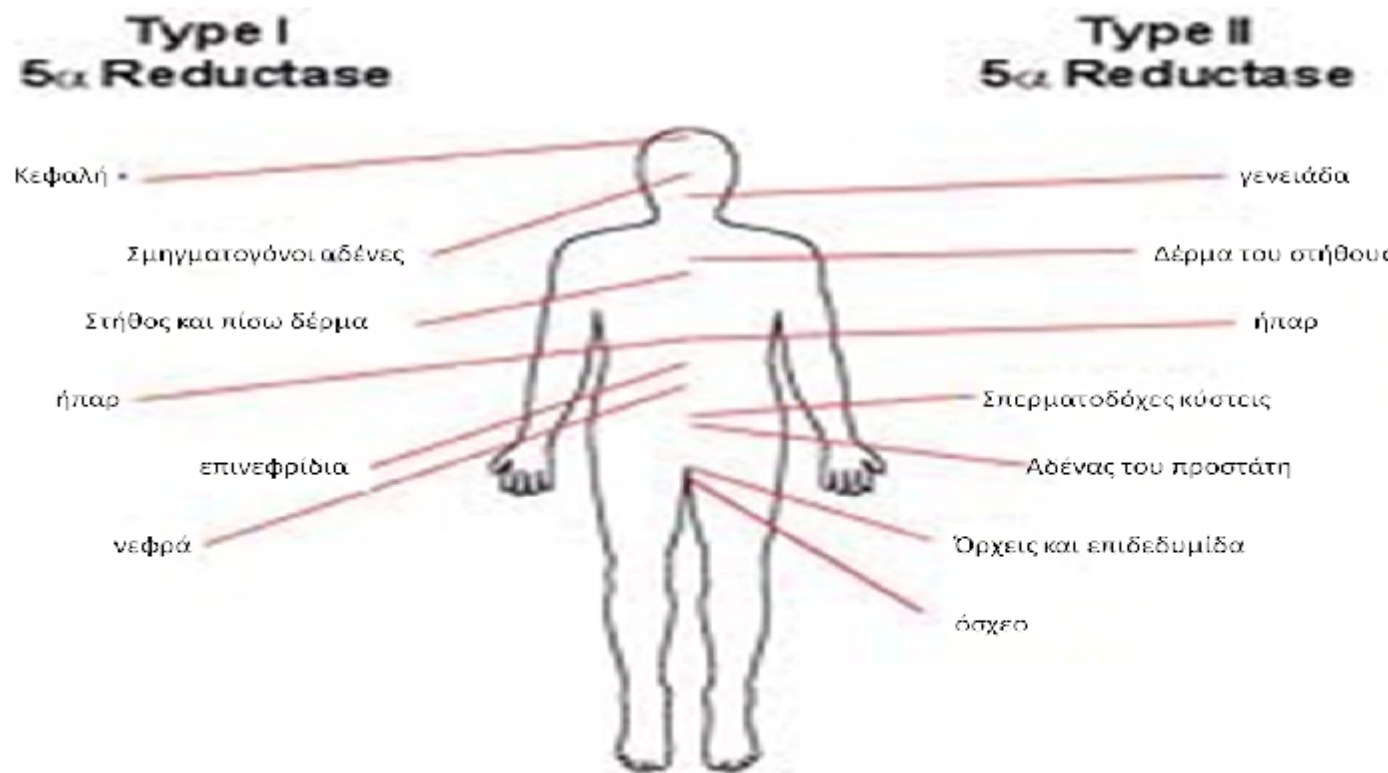


Η 5α αναγωγάση έχει δύο ισομορφές

**Τύπου 1:** εκφράζεται στο ήπαρ, στο δέρμα και στο τριχωτό της κεφαλής από το SRD5A1 γονίδιο που εδράζεται στο χρωμόσωμα 5

**Τύπου 2 :** εκφράζεται στο προστάτη από το SRD5A2 γονίδιο που εδράζεται στο χρωμόσωμα 2

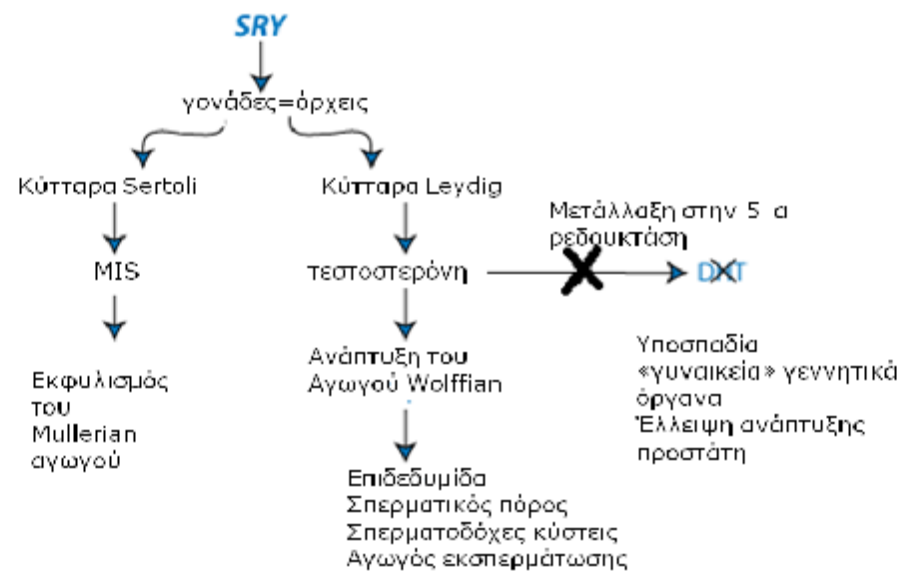
**SRD5A2 GENE :** 5 εξώνια και 4 εσώνια  
πρωτεΐνη 254 αμινοξέων



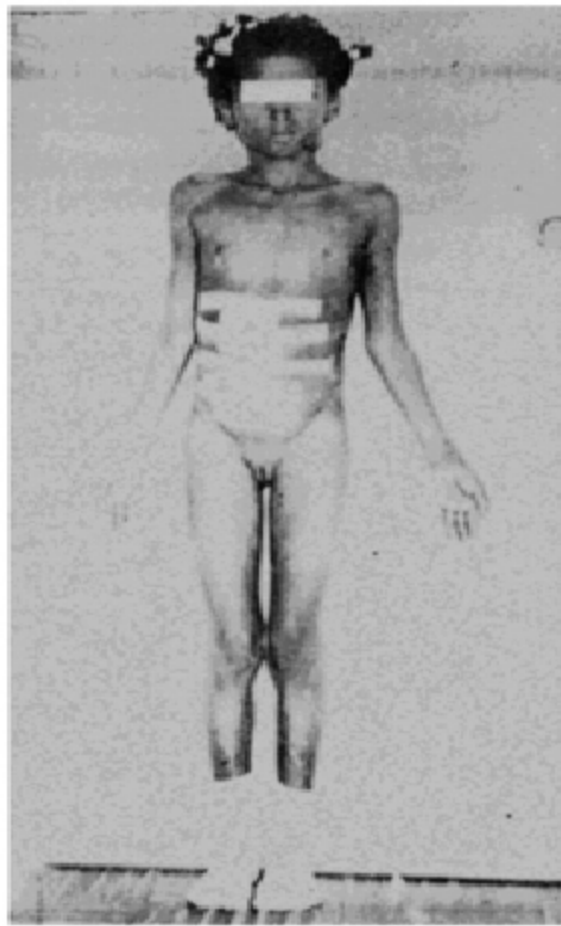
## SRD5A2 ανεπάρκεια

- >50 μεταλλάξεις έχουν ταυτοποιηθεί
- Αλλαγή σε ένα μπλογκ αμινοξέων
- ανενεργότητα, μείωση δραστικότητας ενζύμου
- μημετατροπή τεστοστερόνης σε DHT
- διαταραχή σχηματισμού εξωτερικών γενετικών οργάνων

## MUTATION IN 5- $\alpha$ -REDUCTASE (XY)



Maria → Jorge



age 12



age 19



## Συχνοί πολυμορφισμοί του γονιδίου της 5α αναγωγάσης (SRD5A2)

Genotype <sup>a</sup>	Racial/Ethnic group (Subjects)				
	Total (286)	African-American (95)	Caucasian (49)	Latino (40)	Asian (102)
VV (%)	46.5	58.9	57.1	47.5	29.4
VL (%)	42.0	37.9	38.8	37.5	49.0
LL (%)	11.5	3.2	4.1	15.0	21.6
Leucine allele (%)	32.5	22.1	23.5	33.7	46.1

<sup>a</sup> VV are valine 89 homozygotes for the V89L substitution, LL are leucine 89 homozygotes, and VL are heterozygote individuals. The allele frequency of the V89L polymorphism is significantly different in Asians from that in African-Americans ( $P = 0.00001$ ), Caucasians ( $P = 0.0002$ ), and Latinos ( $P = 0.041$ ).

- Αντικατάσταση βαλίνης από λευκίνη στο 89 κωδικόνιο (V89L)
- Αντικατάσταση αλανίνης από θρεονίνη στο 49 κωδικόνιο (A49T)
- Η ποικίλου μήκους επαναλαμβανόμενη δινουκλεοτιδική αλληλουχία TA στην 3' αμετάφραστη περιοχή του γονιδίου

**Πολυμορφισμός V89L και σεξουαλική συμπεριφορά**

	ΣΥΝΟΛΟ	ΓΟΝΟΤΥΠΟΣ GG	ΓΟΝΟΤΥΠΟΣ GC	ΓΟΝΟΤΥΠΟΣ CC	p value
ΗΛΙΚΙΑ	21,59(1,94)	21,63(1,98)	21,34(1,72)	22,38(2,50)	0,401
BMI (Kgr/m <sup>2</sup> )	22,58(1,35)	22,91(4,56)	22,66(5,57)	17,63	0,601
FSH (mIU/ml)	<b>6,29(1,35)</b>	<b>5,97(1,25)</b>	<b>6,59(1,34)</b>	<b>7,28(1,54)</b>	<b>0,042</b>
LH (mIU/ml)	5,62(1,99)	5,43(1,90)	5,99(2,08)	5,25(2,38)	0,486
E2 (pg/ml)	46,61(16,74)	44,86(14,67)	47,51(17,77)	55,00(26,15)	0,462
<b>PROGESTERONE(ng/ml)</b>	<b>9,81(7,23)</b>	<b>8,58(6,42)</b>	<b>12,65(8,01)</b>	<b>7,04(6,74)</b>	<b>0,050</b>
TESTOSTERONE(ng/dl)	0,40(0,12)	0,36(0,10)	0,36(0,12)	0,38(0,20)	0,886
SHBG(nmol/l)	71,72(31,01)	71,86(33,78)	72,31(28,77)	67,55(22,54)	0,952
FAI	2,22(1,61)	2,27(1,86)	2,08(1,06)	2,47(1,96)	0,979
ΕΠΙΘΥΜΙΑ	4,32(0,99)	4,14(1,07)	4,54(0,87)	4,50(0,91)	0,199
ΔΙΕΓΕΡΣΗ	5,17(0,83)	5,03(1,00)	5,28(0,55)	5,55(0,42)	0,347
ΕΦΥΓΡΑΝΣΗ	5,45(0,70)	5,35(0,72)	5,56(0,70)	5,55(0,62)	0,184
ΟΡΓΑΣΜΟΣ	4,95(1,19)	4,87(1,16)	5,09(1,08)	4,85(1,76)	0,506
<b>ΙΚΑΝΟΠΟΙΗΣΗ</b>	<b>5,21(1,16)</b>	<b>4,97(1,24)</b>	<b>5,54(1,03)</b>	<b>5,35(0,91)</b>	<b>0,029</b>
ΠΟΝΟΣ	5,31(0,90)	5,36(0,91)	5,19(0,94)	5,55(0,66)	0,500
FSFI	29,27(6,72)	28,48(6,93)	29,88(6,98)	31,35(3,58)	0,187

	ΣΥΝΟΛΟ	ΓΟΝΟΤΥΠΟΣ GG	ΓΟΝΟΤΥΠΟΣ GC	ΓΟΝΟΤΥΠΟΣ CC	p value
FSH (mIU/ml)	6,29(1,35)	5,97(1,25)	6,59(1,34)	7,28(1,54)	0,042
PROGESTERONE (ng/ml)	9,81(7,23)	8,58(6,42)	12,65(8,01)	7,04(6,74)	0,050
ΙΚΑΝΟΠΟΙΗΣΗ	5,21(1,16)	4,97(1,24)	5,54(1,03)	5,35(0,91)	0,029

· Ο CC γονότυπος χαρακτηρίζεται από μείωση της δραστικότητας του ενζύμου της 5 α αναγωγάσης κατά 30%.

· Λιγότερο ποσοστό μετατροπής τεστοστερόνης σε DHT, λιγότερη DHT, υψηλότερη τεστοστερόνη.

	ΣΥΝΟΛΟ	ΓΟΝΟΤΥΠΟΣ GG	ΓΟΝΟΤΥΠΟΣ GC	ΓΟΝΟΤΥΠΟΣ CC	p value
TESTOSTERONE(ng/dl)	0,40(0,12)	0,36(0,10)	0,36(0,12)	0,38(0,20)	0,886

· Η υψηλότερη τεστοστερόνη προκαλεί ατρησία ωοθηλακίων που συνοδεύεται από μειωμένη προγεστερόνη

ΣΥΝΟΛΟ		ΓΟΝΟΤΥΠΟΣ GG	ΓΟΝΟΤΥΠΟΣ GC	ΓΟΝΟΤΥΠΟΣ CC	p value
PROGESTERONE (ng/ml)	9,81(7,23)	8,58(6,42)	12,65(8,01)	7,04(6,74)	0,050

· Η χρόνια ατρησία συνοδεύεται από αυξημένη FSH σε μια προσπάθεια επιλογής του κυρίαρχου ωοθηλακίου.

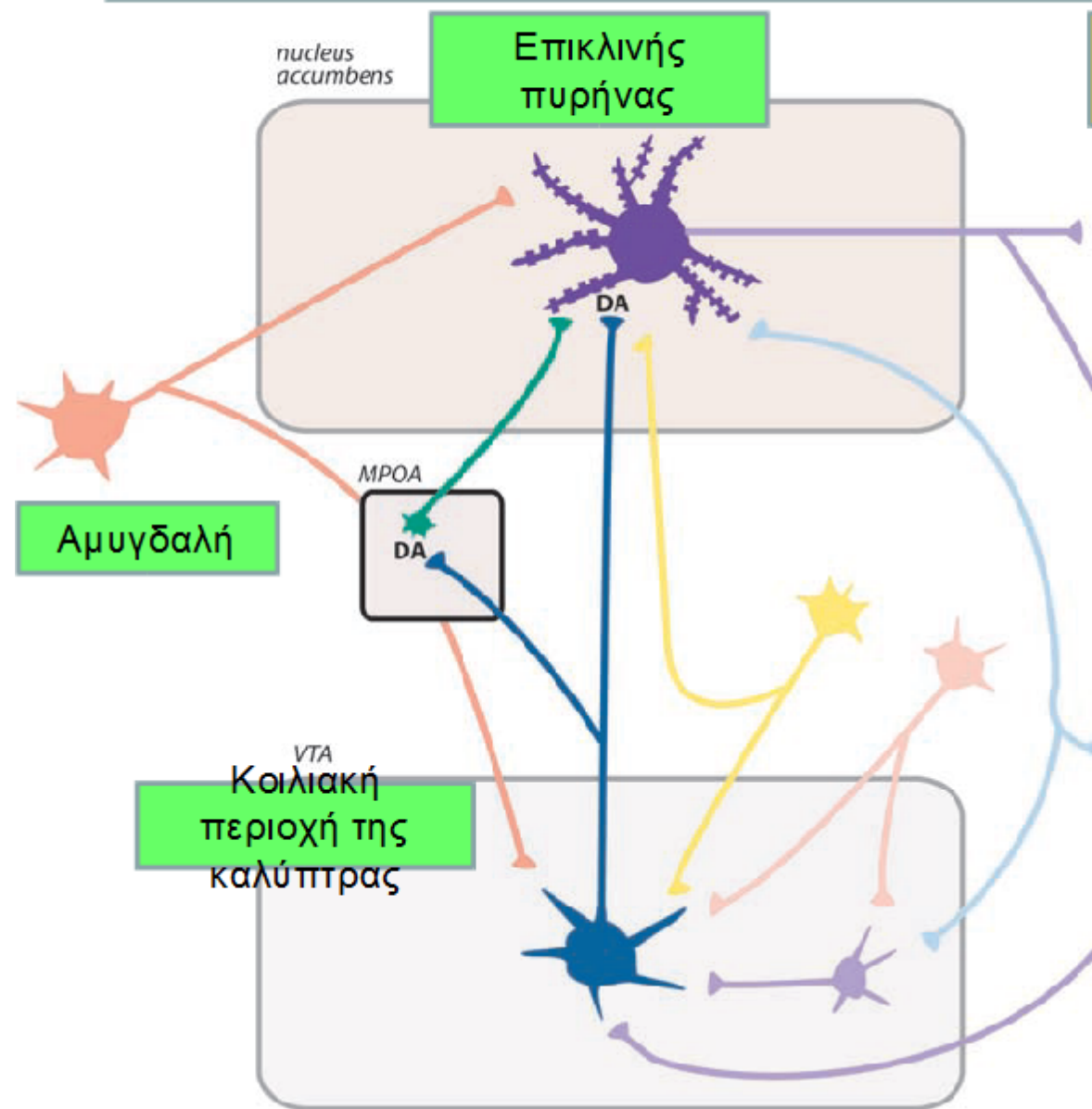
ΣΥΝΟΛΟ		ΓΟΝΟΤΥΠΟΣ GG	ΓΟΝΟΤΥΠΟΣ GC	ΓΟΝΟΤΥΠΟΣ CC	p value
FSH (mIU/ml)	6,29(1,35)	5,97(1,25)	6,59(1,34)	7,28(1,54)	0,042

· Η αυξημένη προγεστερόνη ( δεύτερη φάση του κύκλου) που ακολουθεί την ωορρηξία χαρακτηρίζεται από μειωμένη σεξουαλικότητα αφού έχουμε επιβεβαίωση της κύησης

ΣΥΝΟΛΟ		ΓΟΝΟΤΥΠΟΣ GG	ΓΟΝΟΤΥΠΟΣ GC	ΓΟΝΟΤΥΠΟΣ CC	p value
ΙΚΑΝΟΠΟΙΗΣΗ	5,21(1,16)	4,97(1,24)	5,54(1,03)	5,35(0,91)	0,029

**ΣΥΜΠΕΡΑΣΜΑ:** Οι γυναίκες με τον CC γονότυπο του V89L πολυμορφισμού του SRD5A2 γονιδίου χαρακτηρίζονται από αυξημένη σεξουαλικότητα λόγω μείωση της δραστικότητας του ενζύμου και στην υπερανδρογονεμία ( αύξηση συγκέντρωσης τεστοστερόνης που αυτή συνεπάγεται.

# Σεξουαλική επιθυμία: Τα νευρωνικό κύκλωμα της ανταμοιβής



Ο ρόλος της **ντοπαμίνης**

**Σεξουαλική επιθυμία:**  
Ντοπαμινεργικές προβολές από VTA προς nucleus accumbens άμεσα είτε έμμεσα μέσω υποθαλάμου (MPOA).

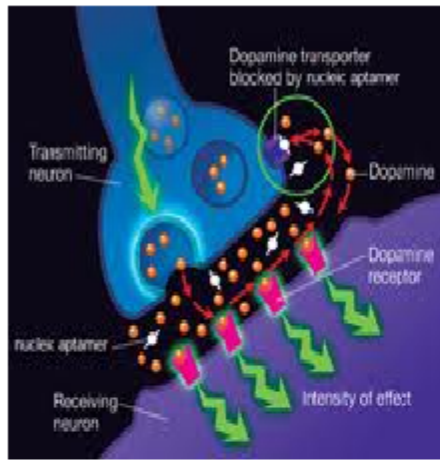
Mignon, 2009 (HSDD)

Τα αλλήλια DRD2 και DRD1 του υποδοχέα της ντοπαμίνης σχετίζονται με μικρότερη ηλικία πρώτης ερωτικής επαφής

Miller et al, 1999

# Ντοπαμίνη

## Dopamine transporter (DAT) -gene

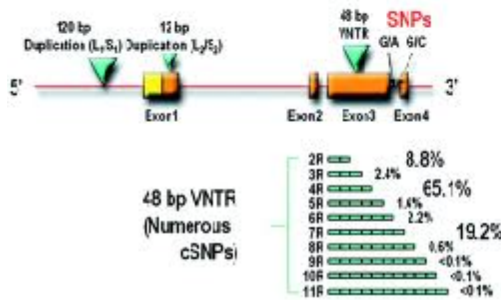


- Αλληλουχία 40 βάσεων μεταβλητού αριθμού διαδοχικών επαναλήψεων (VNTR) στην 3' αμετάφραστη περιοχή (πολυμορφική θέση)

Safarinejad et al, 2011

## Γονίδιο του υποδοχέα 4 της ντοπαμίνης (DRD4)

### DRD4



- Ο αριθμός των VNTR στο εξόνιο III του γονιδίου του υποδοχέα 4 της ντοπαμίνης (DRD4) έχει συσχετισθεί με σεξουαλικούς συμπεριφορικούς φαινότυπους, οι οποίοι χαρακτηρίζονται από αυξημένη ερωτική επιθυμία και έντονη σεξουαλική δραστηριότητα

Garcia et al, 2010

# DRD4 VNTR: Συσχετισμός με μοτίβα σεξουαλικής συμπεριφοράς

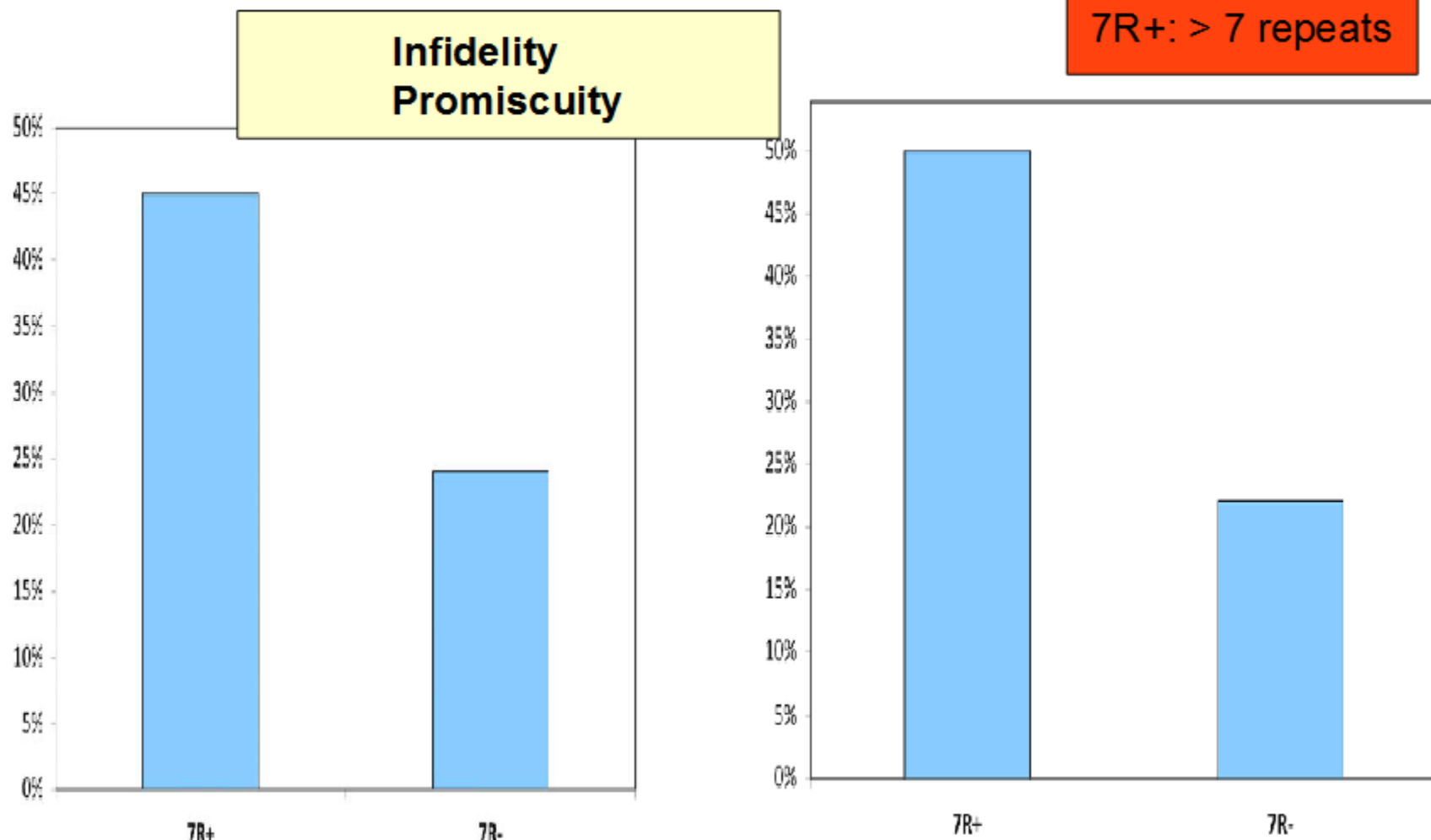
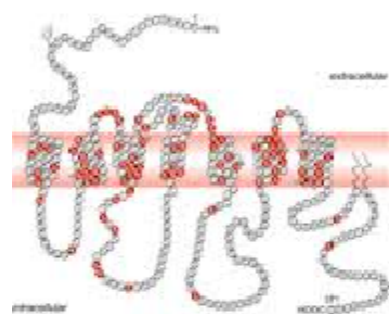


Figure 1. Percent who report promiscuous sexual experiences, by DRD4 genotype group.  
doi:10.1371/journal.pone.0014162.g001

Figure 2. Percent who report extra-relationship sexual experiences, by DRD4 genotype group.  
doi:10.1371/journal.pone.0014162.g002

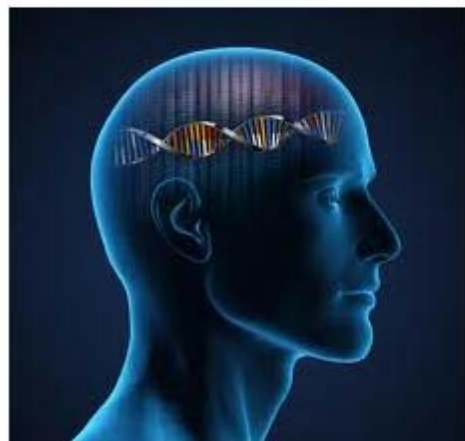
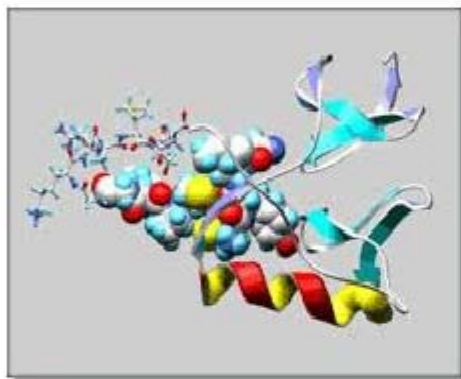
Garcia et al, 2010

## Γονίδιο του υποδοχέα της βασοπρεσσίνης (AVPR)



- Χρωμόσωμα 12q14-15
- 3 μικροδορυφόρες επαναλήψεις στην 5' περιοχή του γονιδίου και μία τέταρτη στο μοναδικό του ιντρόνιο.
- Οι περιοχές RS1 και RS3 του υποκινητή του γονιδίου είναι έντονα πολυμορφικές.
- Ο αριθμός των επαναλήψεων στην RS3 περιοχή σχετίζεται θετικά με τη μεταγραφική ικανότητα του γονιδίου.
- Οι πολυμορφισμοί του AVPR έχουν σχετιστεί με μονογαμία και ανάπτυξη σχέσεων δεσμού.
- Έχουν γονοτυπηθεί οι περιοχές NM\_000706.3: c.-5518 AVPR1A (TC)x(TG)y, c.-2481 AVPR1A (AGAT)7\_16.

# Γονίδιο του υποδοχέα της ωκυτοκίνης (OXTR)



- Πολυπεπτίδιο 389 αμινοξέων
- Χρωμόσωμα 3p25
- 3 ιντρόνια και 4 εξόνια.
  - Περίπου 30 μονονουκλεοτιδικοί πολυμορφισμοί έχουν περιγραφεί για το γονίδιο του OXTR.
  - Ανάπτυξη σχέσεων δεσμού και μονογαμία.

Πολυμορφισμοί AVPR1A και OXTR: Σεξουαλική συμπεριφορά και αναταραγωγικοί συμπεριφορικοί φαινότυποι

Variable	Genotype comparison with reference <sup>1</sup>	Males				Females			
		Odds ratio	Lower 95% CI	Upper 95% CI	P-value	Odds ratio	Lower 95% CI	Upper 95% CI	P-value
<i>AVPR1A</i> (ΔGAT)									
Age of first sex	Short/short	1.176	0.148	9.362	0.879	0.172	0.060	0.488	0.001 <sup>3</sup>
	Short/medium	0.696	0.085	5.689	0.735	0.166	0.058	0.472	0.001
<15 years	Short/long	0.902	0.100	8.093	0.926	0.209	0.070	0.625	0.005
	Medium/medium	1.507	0.167	13.590	0.715	0.099	0.023	0.132	0.002
	Medium/long	0.623	0.062	6.268	0.688	0.124	0.032	0.483	0.003
Oral contraception use	Short/short					0.772	0.348	1.715	0.526
	Short/medium					0.738	0.333	1.636	0.454
	Short/long					1.054	0.464	2.396	0.900
	Medium/medium					1.086	0.455	2.587	0.853
	Medium/long					0.816	0.316	1.926	0.613
Have children	Short/short	0.750	0.164	3.428	0.711	0.886	0.322	2.442	0.816
	Short/medium	0.571	0.124	2.626	0.472	0.618	0.222	1.720	0.357
	Short/long	0.721	0.146	3.573	0.689	0.729	0.251	2.089	0.556
	Medium/medium	0.829	0.156	4.411	0.826	0.500	0.155	1.612	0.246
	Medium/long	0.800	0.159	4.038	0.787	0.568	0.181	1.779	0.331
<i>OXTR</i> (CA)									Prichard et al, 2007
Age of first sex	Short/short	0.593	0.216	1.623	0.309	1.920	0.576	6.394	0.288
	Short/long	0.468	0.160	1.370	0.166	1.518	0.411	5.189	0.506
Oral contraception use	Short/short					1.943	1.221	3.091	0.005 <sup>4</sup>
	Short/long					2.382	1.484	3.822	<0.001
Have children	Short/short	1.236	0.474	3.223	0.665	0.405	0.236	0.694	0.001 <sup>4</sup>
	Short/long	0.585	0.206	1.661	0.314	0.412	0.237	0.715	0.002

# Impact of estrogen receptor α gene and oxytocin receptor gene polymorphisms on female sexuality

Anastasia K Armeni, Konstantinos Assimakopoulos, Dimitra Marioli, Vassiliki Koika, Euthychia Michaelidou, Niki Mourtzi, Gregoris Iconomou and Neoklis A Georgopoulos

	T + A	(T + A)	P value	T + no A	No T + A	P value
Age	21.49 (1.89)	21.71 (1.95)	0.469	21.61 (2.09)	21.81 (1.37)	0.264
FSH (IU/mL)	6.37 (1.60)	6.63 (1.50)	0.351	6.67 (1.62)	6.57 (1.20)	0.827
LH (IU/mL)	5.95 (2.42)	5.93 (2.06)	0.515	5.90 (2.14)	6.02 (1.80)	0.594
E2 (pg/mL)	43.12 (13.20)	43.99 (16.46)	0.748	43.88 (15.81)	42.07 (16.59)	0.695
Progesterone (ng/mL)	9.66 (6.98)	9.83 (7.69)	0.856	9.86 (7.81)	9.65 (7.50)	0.897
Testosterone (ng/dL)	0.30 (0.09)	0.31 (0.08)	0.691	0.32 (0.07)	0.28 (0.09)	0.101
SHBG (nmol/L)	67.45 (29.85)	70.92 (29.84)	0.499	69.44 (33.01)	82.33 (27.61)	<b>0.049</b>
FAI	2.05 (1.47)	1.94 (1.36)	0.748	2.10 (1.56)	1.40 (0.86)	<b>0.019</b>
Desire	4.44 (0.88)	4.11 (0.97)	<b>0.075</b>	<b>4.12 (0.91)</b>	<b>4.12 (1.02)</b>	<b>0.92</b>
Arousal	5.28 (1.02)	4.86 (1.26)	<b>0.004</b>	<b>5.02 (1.18)</b>	<b>4.51 (1.69)</b>	<b>0.464</b>
Lubrication	5.43 (0.97)	5.18 (1.27)	0.181	5.27 (1.29)	4.80 (1.55)	<b>0.07</b>
Orgasm	5.01 (1.31)	4.62 (1.44)	<b>0.033</b>	<b>4.66 (1.41)</b>	<b>4.45 (1.61)</b>	<b>0.689</b>
Satisfaction	5.25 (1.08)	5.19 (1.11)	0.713	5.33 (1.13)	4.92 (0.96)	<b>0.039</b>
Pain	4.98 (1.55)	4.90 (1.54)	0.624	4.95 (1.56)	4.32 (1.92)	0.157
FSFI_full	30.43 (5.24)	28.88 (6.14)	<b>0.026</b>	<b>29.38 (6.08)</b>	<b>27.14 (7.59)</b>	<b>0.229</b>
Menarche	12.22 (1.17)	12.44 (1.34)	0.485	12.43 (1.38)	12.37 (0.95)	0.82
Adrenarche	10.18 (1.14)	10.42 (1.49)	0.637	10.53 (1.45)	9.87 (1.31)	0.16
Age of first intercourse	17.67 (2.00)	17.93 (1.83)	0.242	18.08 (1.89)	17.43 (1.36)	0.171
Number of sex partners	3.79 (3.34)	3.38 (3.95)	0.428	3.67 (4.69)	3.06 (2.46)	0.857

